

FAMSI © 2005: Rafael Cobos

Los Patrones de Asentamiento de Chichén Itzá, Yucatán

Traducido del Inglés por Alex Lomónaco



Año de Investigación: 1997

Cultura: Maya

Cronología: Clásico

Ubicación: Yucatán, Quintana Roo, México

Sitio: Chichén Itzá

Tabla de Contenidos

[Resumen](#)

[Abstract](#)

[Excavaciones en el Grupo del Sacbé 61](#)

[Estructura 2A17](#)

[Estructura 2A21](#)

[Estructura 2A22](#)

[Excavaciones de Prueba](#)

[Relevamiento y Mapeo de Estructuras en Chichén Itzá](#)

[Cuadrante 21A](#)

[Cuadrante 1Z](#)

[Cuadrante 1A](#)

[Cuadrante 5D](#)

[Relevamiento y Mapeo de Calzadas en Chichén Itzá](#)

[Lista de Figuras](#)

[Referencias Citadas](#)

Resumen

En Chichén Itzá, Yucatán, se llevó a cabo un programa de investigación que consistió en relevamientos y excavaciones y que se extendió por un período de diez semanas, entre el 31 de marzo y el 6 de junio de 1997. Se presenta a FAMSI el informe final de la temporada de campo 1997, el cual incluye los resultados de las excavaciones horizontales, las excavaciones de prueba, y el mapeo del sitio. El presente informe describe cada una de dichas actividades.

Abstract

A research program consisting of surveying and excavations was conducted at Chichén Itzá, Yucatán, during the ten-week period between March 31 and June 6, 1997. The final report of the 1997 field season is presented to FAMSI and includes results of the horizontal excavations, test excavations, and mapping at the site. This report describes each of these activities.

Entregado el 1 de junio del 1998 por:

Professor Rafael Cobos

Universidad Autónoma de Yucatán

rachcobos@aol.com

Excavaciones en el Grupo del Sacbé 61

El Grupo de Sacbé 61 está situado 1.2 km al oeste del centro del sitio de Chichén Itzá. Este grupo está formado por las estructuras 2A21 (un templo), 2A22 (un altar), y 2A17 (un patio). Antes de comenzar las excavaciones, se emplazó una cuadrícula en el grupo ([Figura 1](#), [Figura 2](#), [Figura 3](#), [Figura 4](#), [Figura 5](#), [Figura 6](#), [Figura 7](#), y [Figura 8](#)). La cuadrícula se utilizó para registrar las excavaciones que se realizaron en unidades de dos por dos metros. Primero se hicieron las excavaciones en la Estructura 2A17, luego en la Estructura 2A21, y más tarde en la Estructura 2A22.



Figura 1. Vista en planta del Grupo de Sacbé 61.



Figura 2. Grupo de Sacbé 61 antes de la excavación.



Figura 3. Estructura 2A22 antes de la excavación, vista de sur a norte.



Figura 4. Grupo de Sacbé 61 después de ser despejado, visto desde el sur.



Figura 5. Estructura 2A21 y cantera, o sascabera.



Figura 6. Estructura 2A21 antes de la excavación, vista de este a oeste.



Figura 7. Grupo de Sacbé 61 visto de este a oeste.



Figura 8. Grupo de Sacbé 61 visto desde la Estructura 2A21.

Estructura 2A17

Esta estructura es un patio sin galería orientado sobre un eje este-oeste, y está situado al oeste del Grupo de Sacbé 61 ([Figura 9](#), [Figura 10](#), y [Figura 13](#)). Se hicieron excavaciones en las partes norte, este, y oeste de la Estructura 2A17, al igual que en su patio interior ([Figura 14](#), [Figura 27](#), [Figura 28](#), [Figura 29](#), y [Figura 30](#)). Las excavaciones dejaron a la vista piedras in situ usadas como cimientos para los muros de la Estructura 2A17. Se descubrió una segunda hilada de piedras en el interior y exterior de 2A17, que habían caído de los muros de la estructura ([Figura 15](#), [Figura 16](#), [Figura 17](#), [Figura 18](#), [Figura 19](#), [Figura 20](#), y [Figura 21](#)).

Durante las excavaciones sólo se hallaron pocos restos de lo que podría haber sido una tercera hilada de piedras, y por lo tanto, no podemos tener la certeza de que la Estructura 2A17 tuviera muros con una tercera hilada de piedras. Los datos sugieren que los muros de la Estructura 2A17 tenían al menos 60 centímetros de altura ([Figura 22](#), [Figura 23](#), [Figura 24](#), [Figura 25](#), [Figura 26](#), [Figura 27](#), [Figura 28](#), [Figura 29](#), y [Figura 30](#)).

Las excavaciones llevadas a cabo en el patio de la Estructura 2A17 revelaron los restos de un piso de estuco y una banqueteta. El piso de estuco mostraba una mejor preservación cerca del muro norte de la Estructura 2A17. La banqueteta fue hallada entre el ángulo noroeste y la entrada al adoratorio, ubicada en la parte occidental del edificio,

y los muros de la banquetta están en talud. Dentro de la banquetta se hallaron varios fragmentos ([Figura 31](#), [Figura 32](#), [Figura 33](#), [Figura 34](#), [Figura 35](#), [Figura 36](#), [Figura 37](#), [Figura 38](#), y [Figura 39](#)).

Hay un adoratorio ubicado en la parte occidental de la Estructura 2A17, y su única entrada mira hacia el patio interno de este edificio ([Figura 30](#), [Figura 31](#), [Figura 32](#), [Figura 33](#), y [Figura 34](#)). La entrada al adoratorio tiene dos jambas de piedra que están situadas al norte y sur ([Figura 39](#), [Figura 40](#), [Figura 41](#), [Figura 42](#), [Figura 43](#), [Figura 44](#), [Figura 45](#), [Figura 46](#), y [Figura 47](#)). Cerca de la jamba norte hallamos restos de carbón, que recolectamos para poder enviar al laboratorio para su fechamiento cronométrico ([Figura 48](#) y [Figura 49](#)). El Instituto Nacional de Antropología e Historia, de México, autorizará el mes próximo el transporte de los restos de carbón, de México a los Estados Unidos de América.

En la parte posterior del adoratorio se encontró una banquetta bien preservada y cubierta de estuco. Aunque la banquetta estaba construida a lo largo del muro oeste del adoratorio, algunas partes de la misma se tocaban con los muros norte y sur del adoratorio ([Figura 40](#), [Figura 41](#), [Figura 42](#), [Figura 43](#), [Figura 44](#), [Figura 45](#), [Figura 46](#), [Figura 47](#), [Figura 48](#), [Figura 66](#), [Figura 67](#), [Figura 68](#), [Figura 69](#), [Figura 70](#), y [Figura 71](#)). Las excavaciones que se realizaron en la banquetta de la Estructura 2A17 descubrieron una ofrenda que consistía de un incensario y una vasija Sisal trípode ([Figura 50](#), [Figura 51](#), [Figura 52](#), [Figura 53](#), [Figura 54](#), [Figura 55](#), [Figura 56](#), [Figura 57](#), [Figura 58](#), [Figura 59](#), [Figura 60](#), [Figura 61](#), [Figura 62](#), [Figura 63](#), y [Figura 64](#)). Este hallazgo pertenece al complejo cerámico Sotuta de Chichén Itzá.



Figura 9. Estructura 2A17 vista de norte a sur antes de la excavación.



Figura 10. Excavación de la Estructura 2A17.



Figura 11. Grupo de Sacbé 61, zaranda usada para tamizar la tierra.



Figura 12. Grupo de Sacbé 61, zaranda usada para tamizar la tierra.

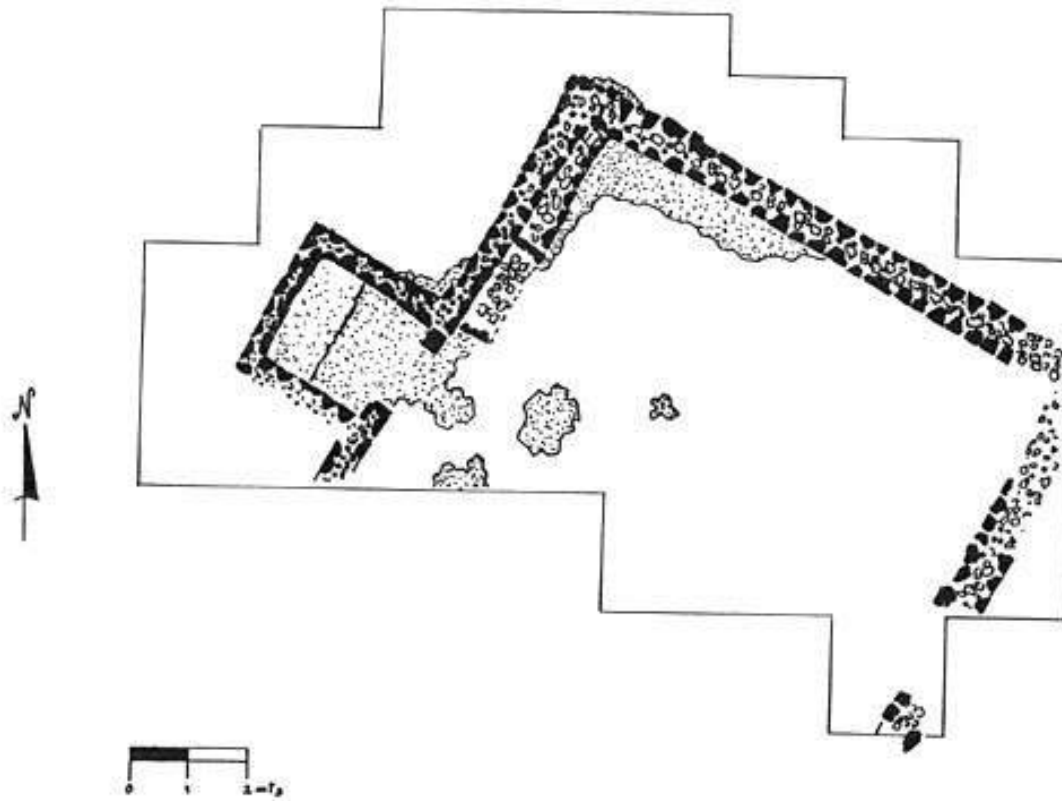


Figura 13. Vista en planta de la Estructura 2A17.

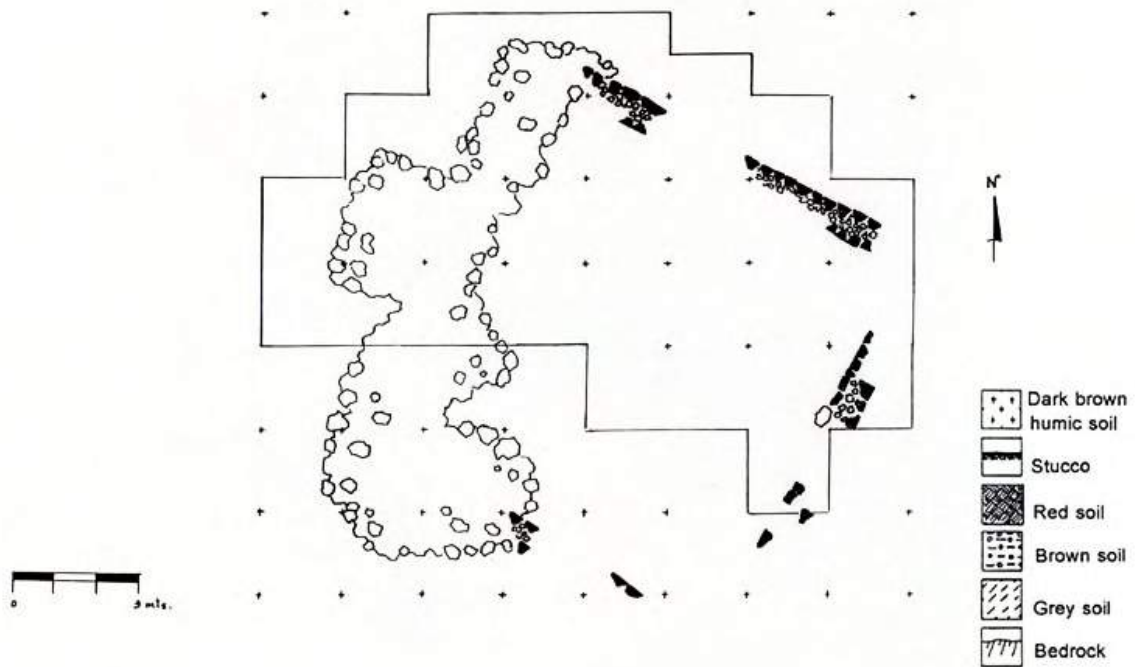


Figura 14. Excavación de la Estructura 2A17.



Figura 15. Estructura 2A17, muro norte.



Figura 16. Estructura 2A17, vista de norte a sur, antes de la excavación.



Figura 17. Estructura 2A17, excavación del muro norte.



Figura 18. Estructura 2A17, Cuadrángulo 23L, antes de la excavación.

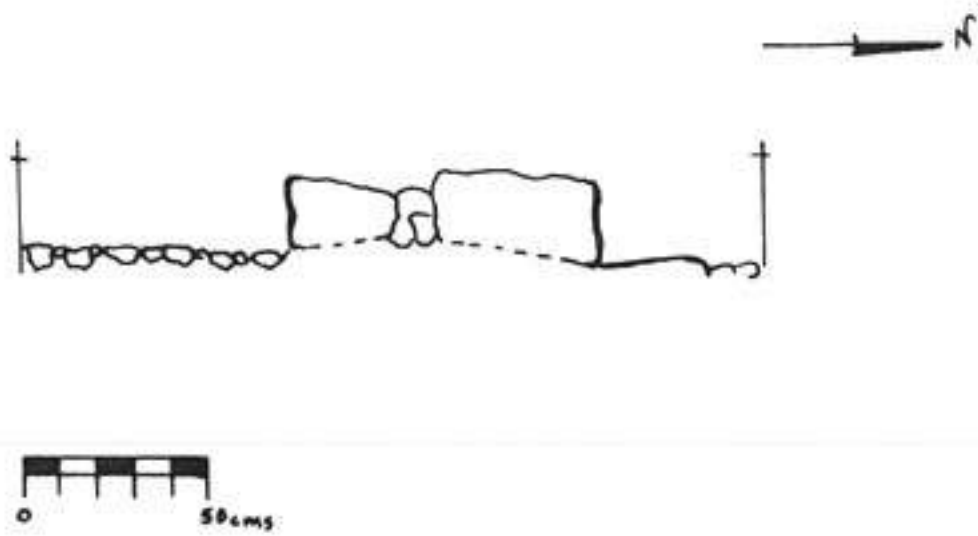


Figura 19. Corte transversal del muro en el Cuadrángulo 23L.



Figura 20. Estructura 2A17, vista de noroeste a sudeste.



Figura 21. Estructura 2A17, excavación del ángulo noroeste.



Figura 22. Estructura 2A17, lado norte con la posible ubicación de la tercera hilada de piedras del muro.



Figura 23. Estructura 2A17, excavación de la banqueta en el lado norte.



Figura 24. Estructura 2A17, excavación de la banqueta norte.



Figura 25. Estructura 2A17, lado norte y banqueta norte.

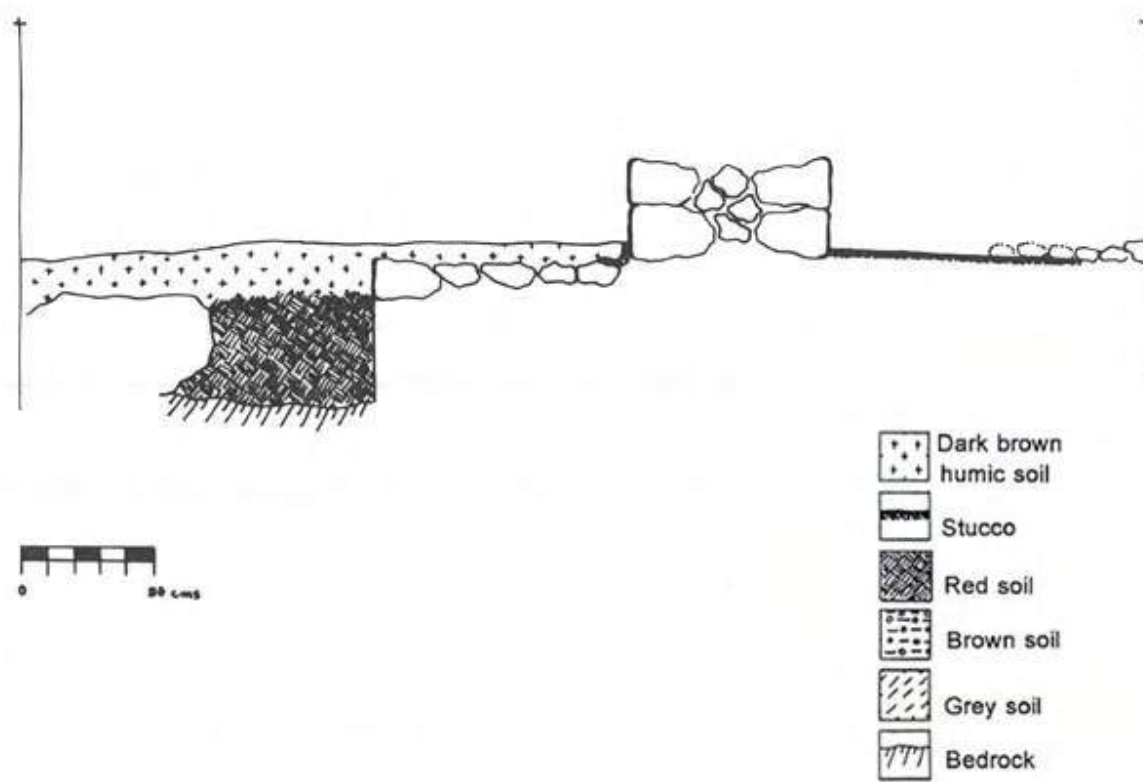


Figura 26. Corte transversal del muro norte y de la banqueta.



Figura 27. Estructura 2A17, vista de este a oeste, antes de la excavación.



Figura 28. Estructura 2A17, excavación del muro este.



Figura 29. Estructura 2A17, excavación del muro este.



Figura 30. Estructura 2A17, una vista de la excavación de este a oeste.



Figura 31. Estructura 2A17, lado oeste del adoratorio antes de la excavación.



Figura 32. Estructura 2A17, parte posterior del adoratorio antes de la excavación.



Figura 33. Excavación del lado oeste de la Estructura 2A17, y del lado oeste del adoratorio.



Figura 34. Estructura 2A17, interior del lado norte, donde se observa el relleno encima del piso de estuco.



Figura 35. Estructura 2A17, Cuadrángulo 22J, antes de la excavación.



Figura 36. Estructura 2A17, Cuadrángulo 22J, antes de la excavación.

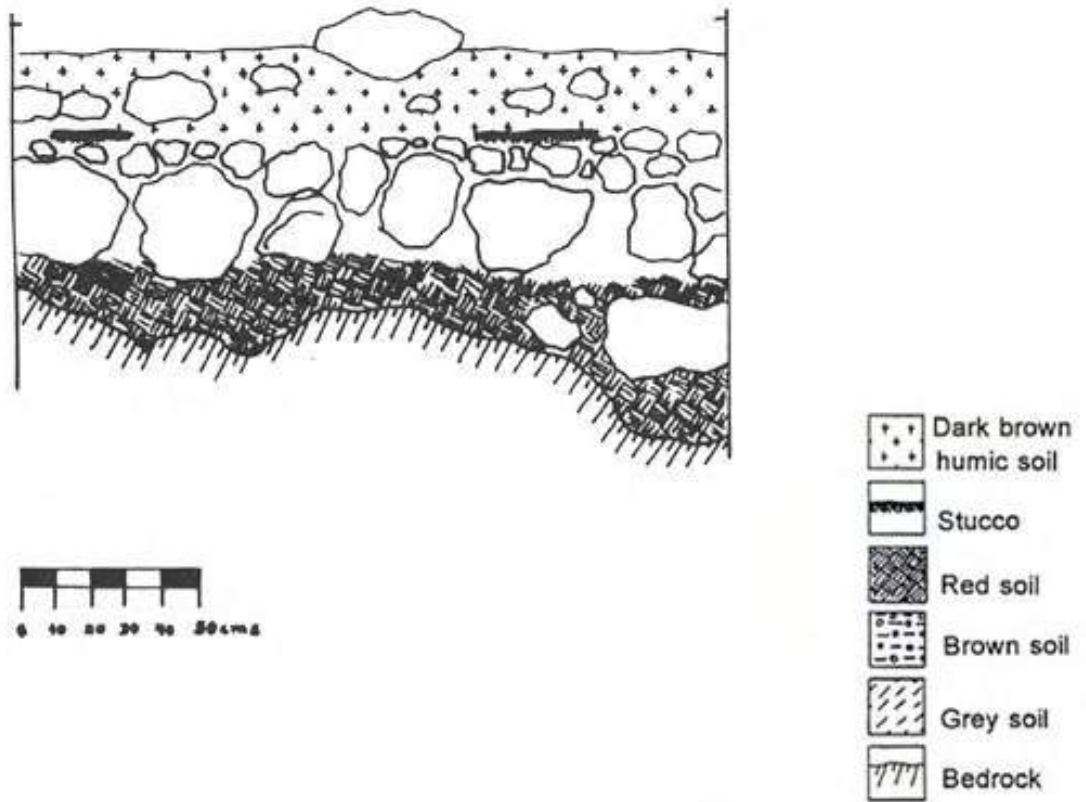


Figura 37. Corte transversal norte de la excavación de prueba central.

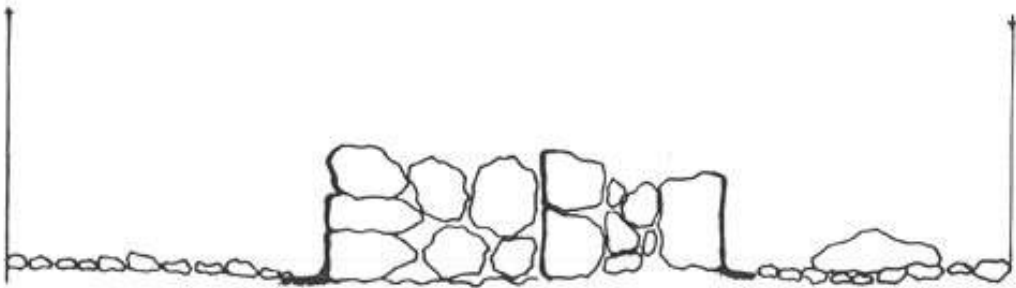
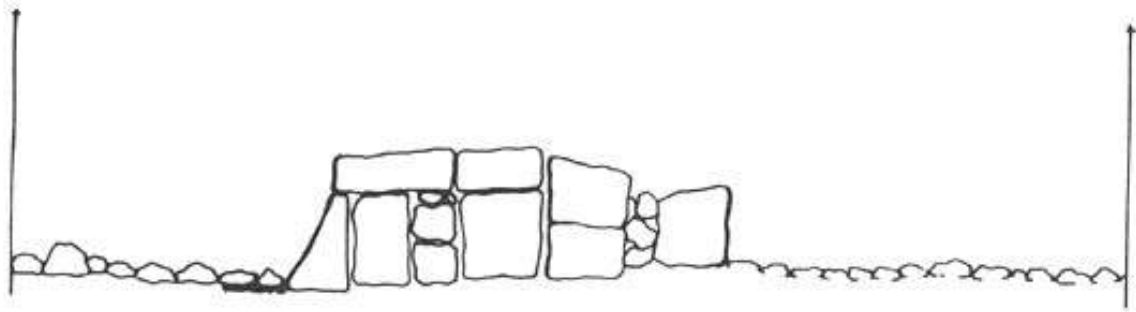


Figura 38. East Corte transversal este-oeste de la banqueta de la Estructura 2A17.



Figura 39. Excavación del adoratorio visto de este a oeste.



Figura 40. Excavación del adoratorio.

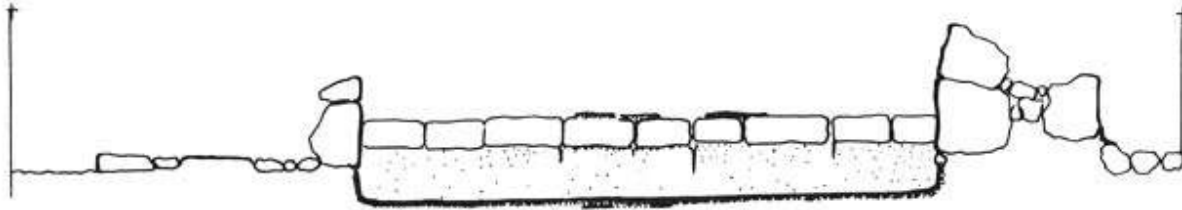
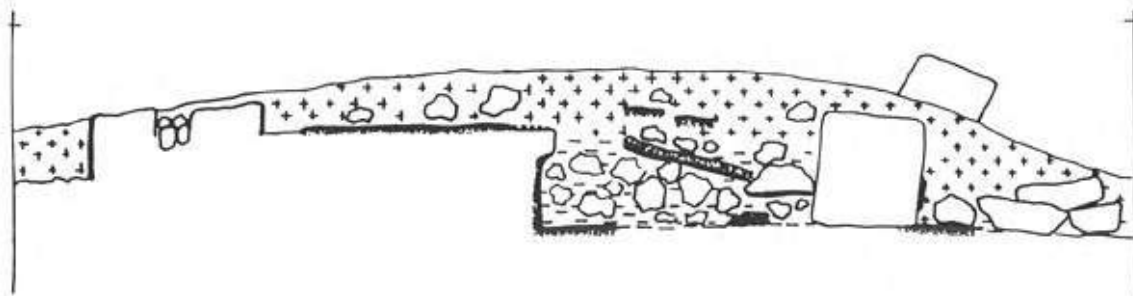


Figura 41. El adoratorio visto desde el este.






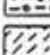
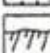

-  Dark brown humic soil
-  Stucco
-  Red soil
-  Brown soil
-  Grey soil
-  Bedrock

Figura 42. Corte transversal oeste-este, lado norte del adoratorio.



Figura 43. Estructura 2A17, interior del adoratorio, vista del muro norte con relleno o testigo.



Figura 44. Estructura 2A17, lado sur del adoratorio, relleno o testigo que muestra el relleno de construcción del Estrato II.



Figura 45. Fragments Fragmentos de estuco encontrados en el Estrato II del relleno o testigo.



Figura 46. Estructura 2A17, interior del adoratorio, lado sur.



Figura 47. Estructura 2A17, entrada principal al adoratorio.



Figura 48. Interior del adoratorio. Piso de estuco y restos de carbón y ceniza.



Figura 49. Interior del adoratorio. Restos de carbón y ceniza junto a la jamba norte.

Estructura 2A21

Esta estructura es un montículo en una marcada etapa de decadencia, y que probablemente haya sido usado como cantera de donde extraer piedras para la construcción de los muros en los campos cercanos. Además, la parte de atrás de la Estructura 2A21 colapsó dentro de la cantera de caliza ubicada directamente al sur de la estructura ([Figura 1](#), [Figura 2](#), [Figura 5](#), [Figura 6](#), [Figura 72](#), y [Figura 99](#)).

Las excavaciones en la Estructura 2A21 se concentraron en las partes norte y oeste de la misma, y pusieron al descubierto los restos de al menos dos terrazas y una escalera. La escalera está ubicada sobre el lado norte de la Estructura 2A21, y enfrenta a la Estructura 2A22 y el inicio de la Calzada 61 ([Figura 73](#), [Figura 74](#), [Figura 75](#), [Figura 76](#), [Figura 77](#), [Figura 78](#), [Figura 79](#), [Figura 80](#), [Figura 81](#), [Figura 82](#), [Figura 83](#), [Figura 84](#), [Figura 85](#), [Figura 86](#), [Figura 87](#), y [Figura 88](#)).

En la cima de 2A21 se hallaron los restos de una columna y un muro. Esta estructura albergaba cuartos en su frente y parte posterior, los cuales estaban divididos por muros interiores. La entrada a los cuartos probablemente tuviera dos columnas, pero sólo una de ellas pudo ser hallada durante la temporada de campo.

En la cima de la Estructura 2A21 se descubrió un piso de estuco. Este piso fue totalmente documentado y la excavación continuó por debajo del mismo, poniendo al descubierto el relleno seco del núcleo y los restos de una estructura anterior. Esta estructura tiene un cuarto y sus muros están cubiertos por una gruesa capa de estuco. La excavación continuó por debajo de la estructura más antigua y llegó casi a los dos metros de profundidad. La excavación cesó en este nivel ([Figura 89](#), [Figura 90](#), [Figura 91](#), [Figura 92](#), [Figura 93](#), [Figura 94](#), [Figura 95](#), [Figura 96](#), [Figura 97](#), y [Figura 98](#)).



Figura 50. Estructura 2A17, Sahumador Sisal depositado como ofrenda en el adoratorio.



Figura 51. Estructura 2A17, vaso depositado como ofrenda en el adoratorio.

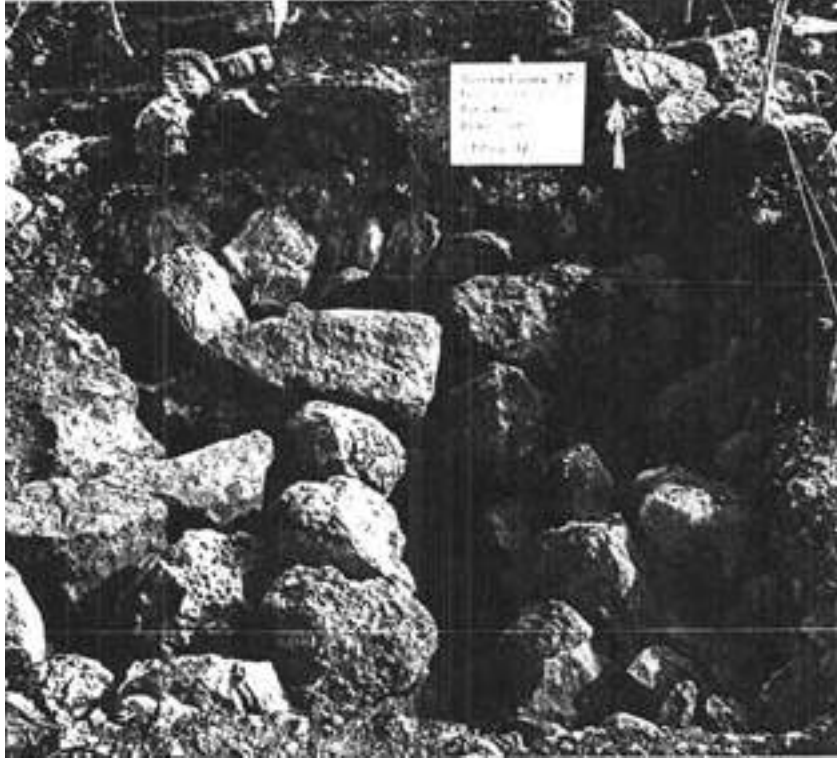


Figura 52. Excavación de prueba 1, relleno de construcción de la Estructura 2A17.

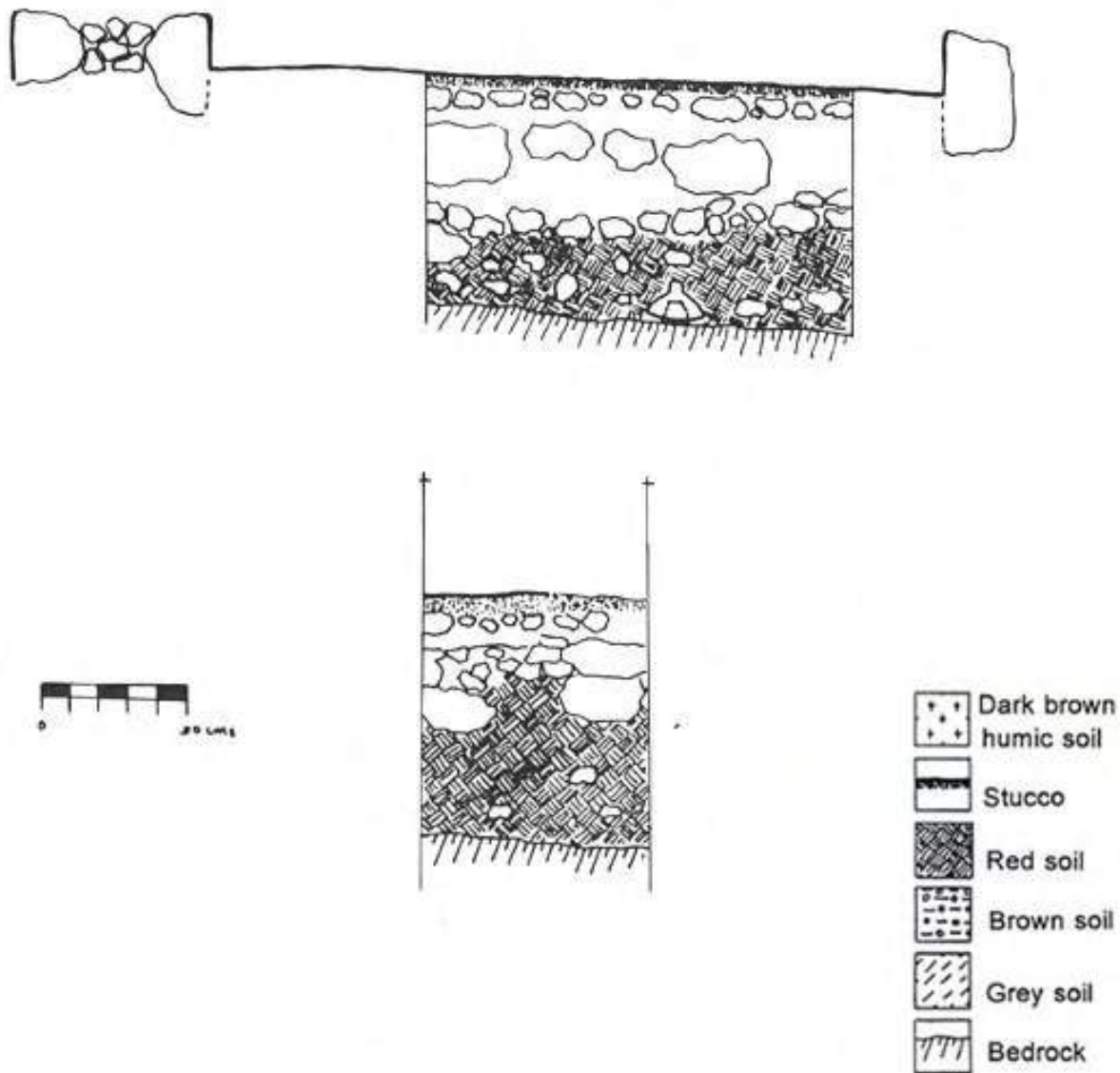


Figura 53. Excavación de prueba 2, interior de la banqueta.



Figura 54. Excavación de prueba 2, interior de la banqueta.

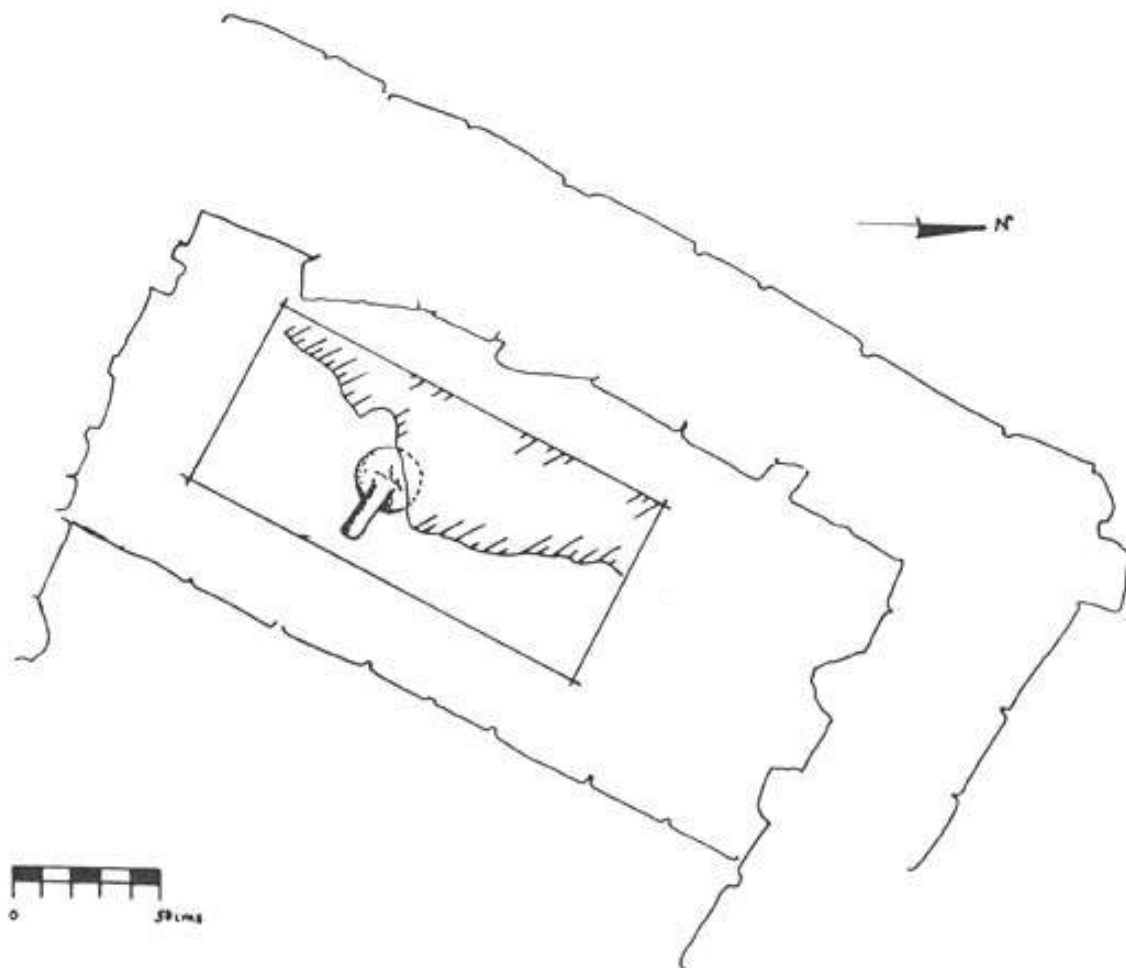


Figura 55. *Sahumador Sisal* en la excavación de prueba de la banqueta.

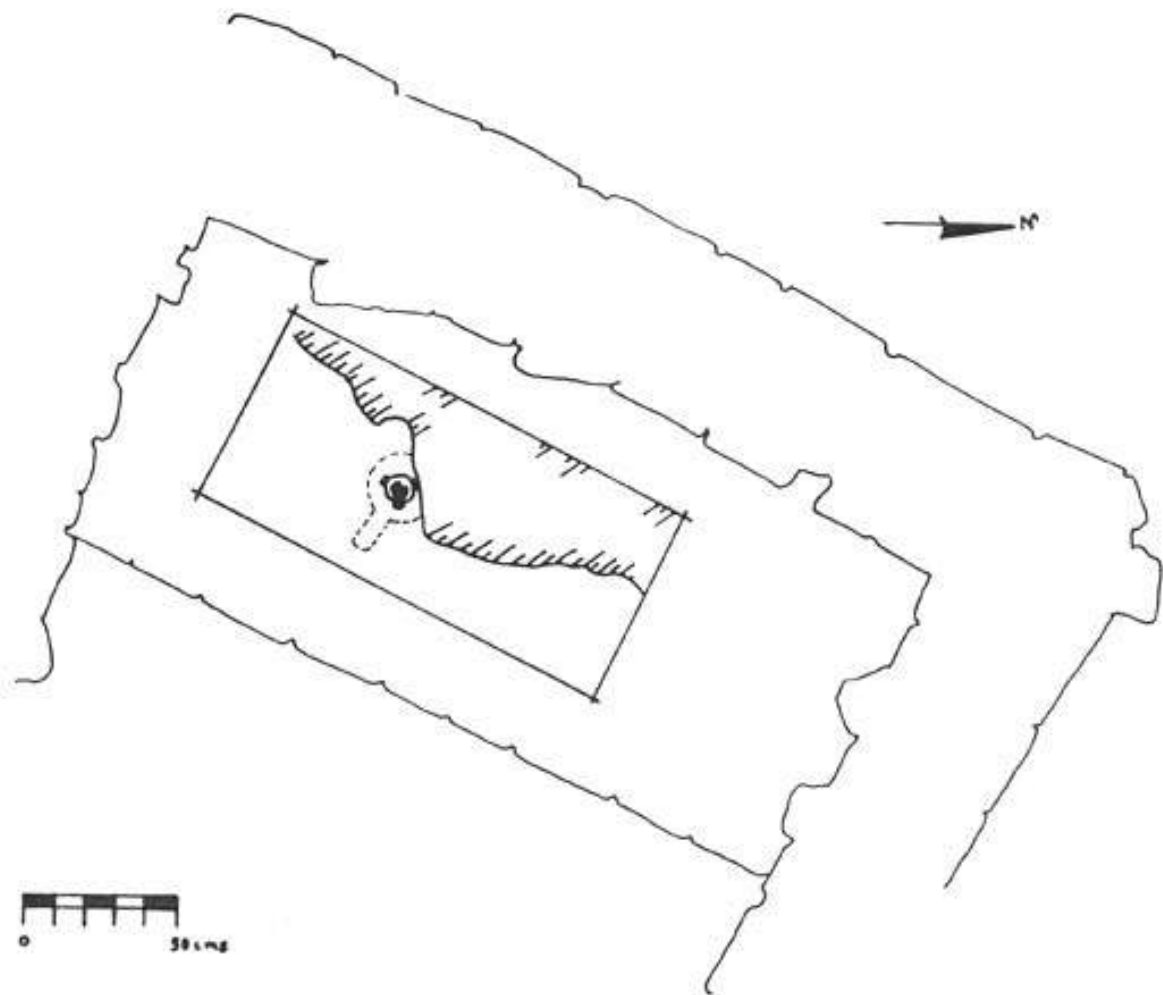


Figura 56. Vaso en la excavación de prueba de la banqueta.

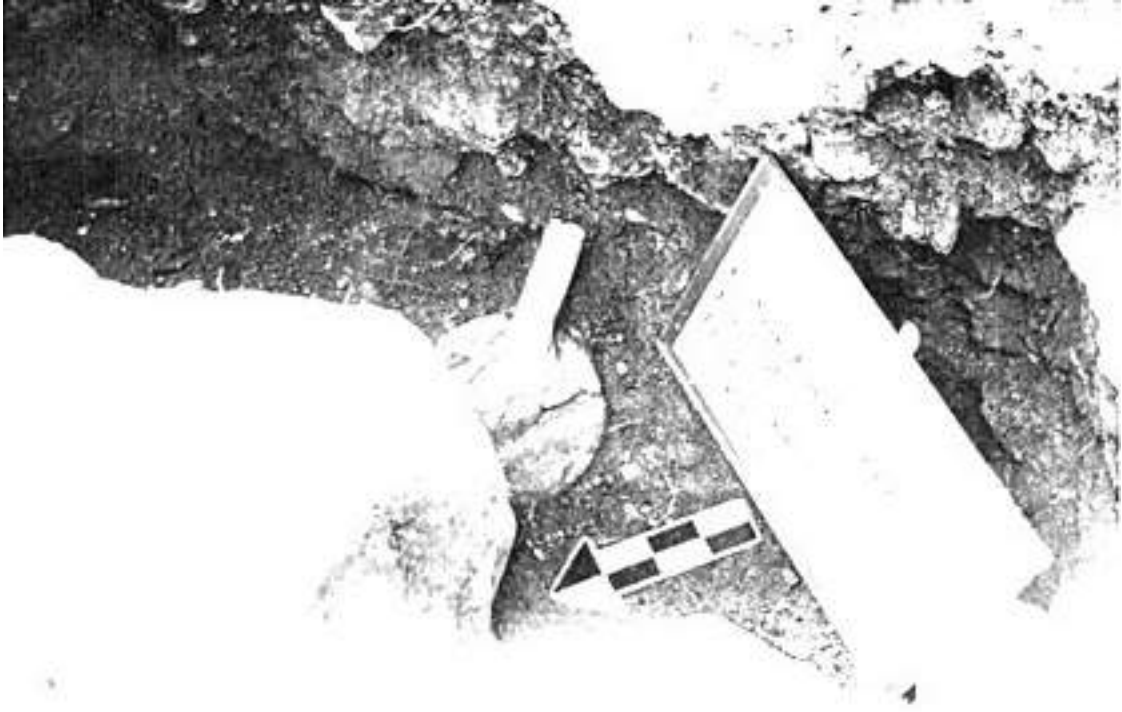


Figura 57. *Sahumador Sisal* depositado como ofrenda en la banqueta del adoratorio.



Figura 58. *Sahumador Sisal* depositado como ofrenda en la banqueta del adoratorio.



Figura 59. *Sahumador Sisal* depositado como ofrenda en la banqueta del adoratorio.



Figura 60. *Sahumador Sisal* depositado como ofrenda en la banqueta del adoratorio.



Figura 61. Vaso depositado como ofrenda en la banqueta del adoratorio.



Figura 62. Vaso depositado como ofrenda en la banqueta del adoratorio.



Figura 63. Vaso depositado como ofrenda en la banqueta del adoratorio.



Figura 64. Vaso depositado como ofrenda en la banqueta del adoratorio.

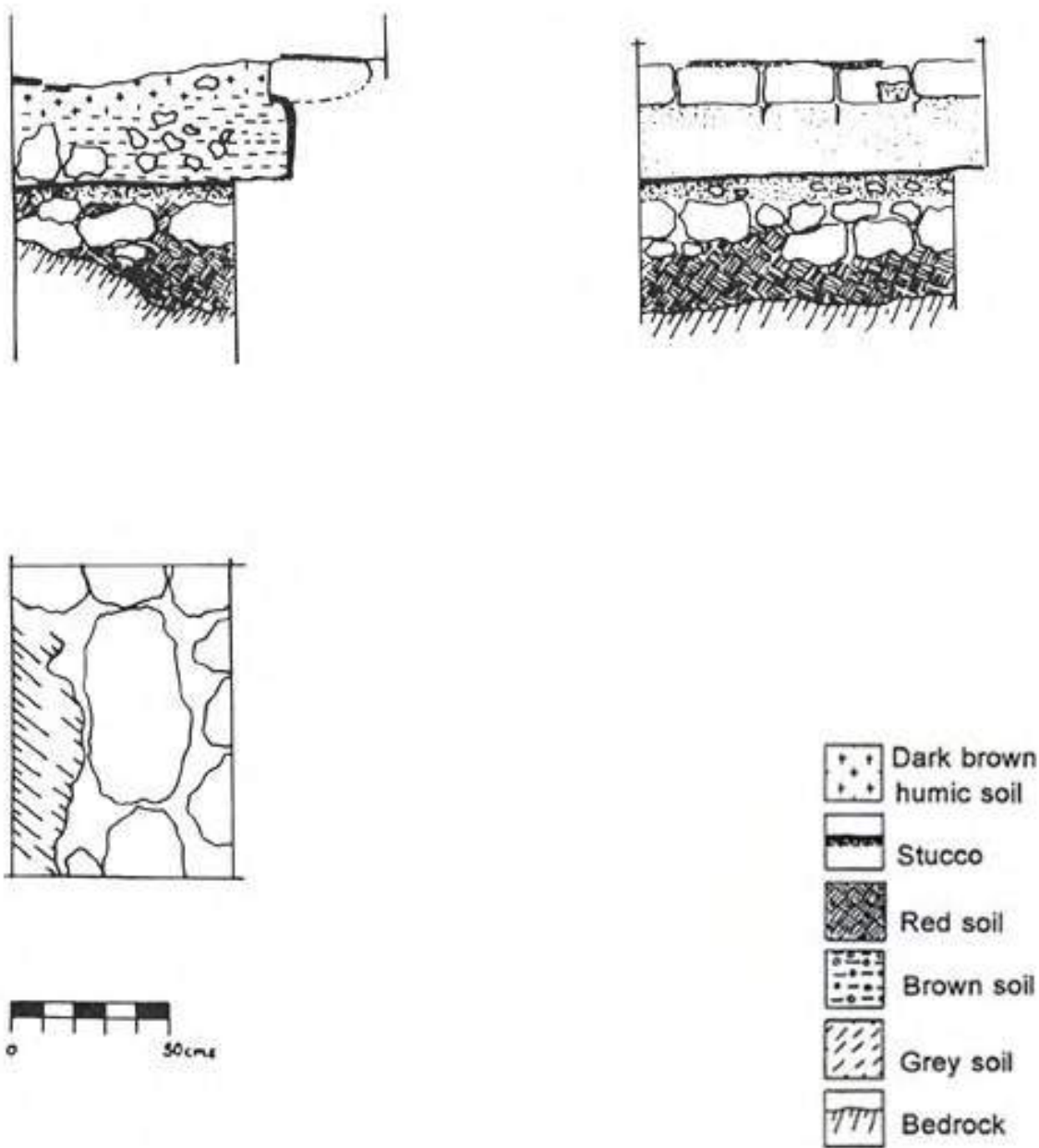


Figura 65. Excavación de prueba frente al adoratorio.

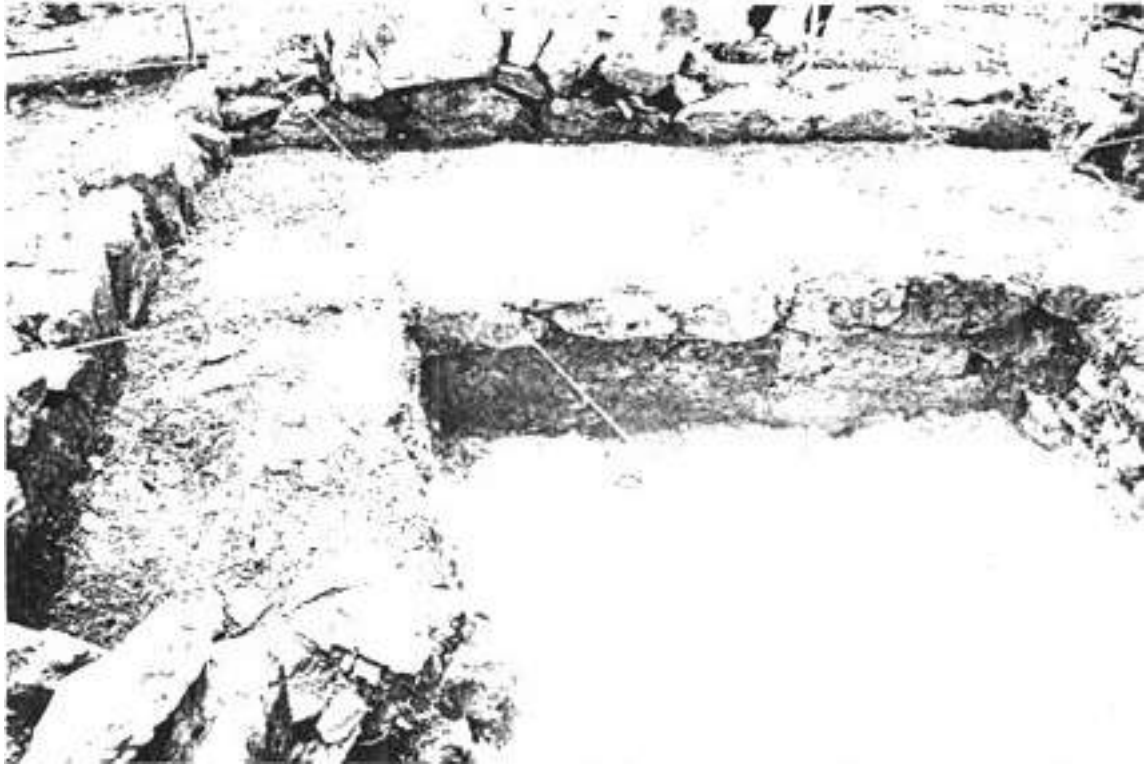


Figura 66. Interior del adoratorio con la banqueta parcialmente excavada.

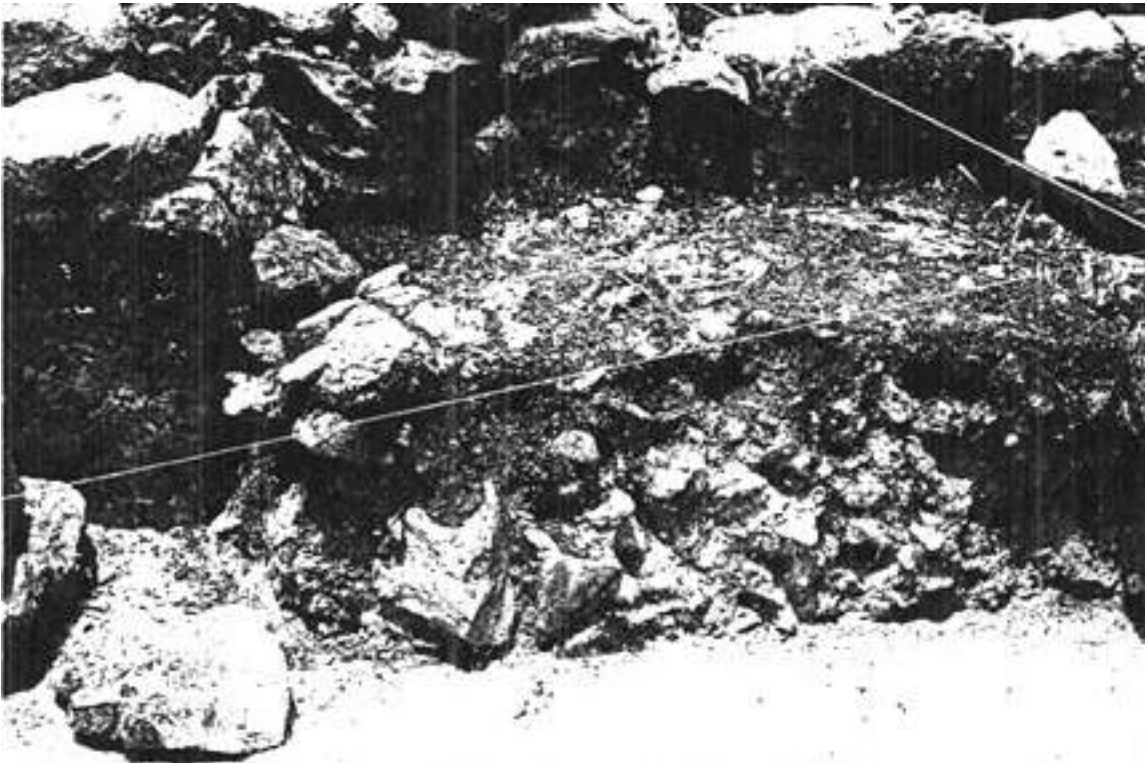


Figura 67. Lado sur del adoratorio, testigo que muestra el relleno constructivo del Estrato II; en la extrema izquierda se observa la jamba sur.



Figura 68. Estructura 2A17, lado sur del santuario, testigo que muestra al relleno constructivo del Estrato II.



Figura 69. Interior del adoratorio después de la excavación (lado norte).



Figura 70. Estructura 2A17, interior del adoratorio con los *testigos*.



Figura 71. Estructura 2AA17, interior del adoratorio con los *testigos*.



Figura 72. Lado norte de la Estructura 2A21 antes de la excavación.



Figura 73. Estructura 2A21, trinchera norte durante la excavación.



Figura 74. Estructura 2A21, excavación de la trinchera norte.

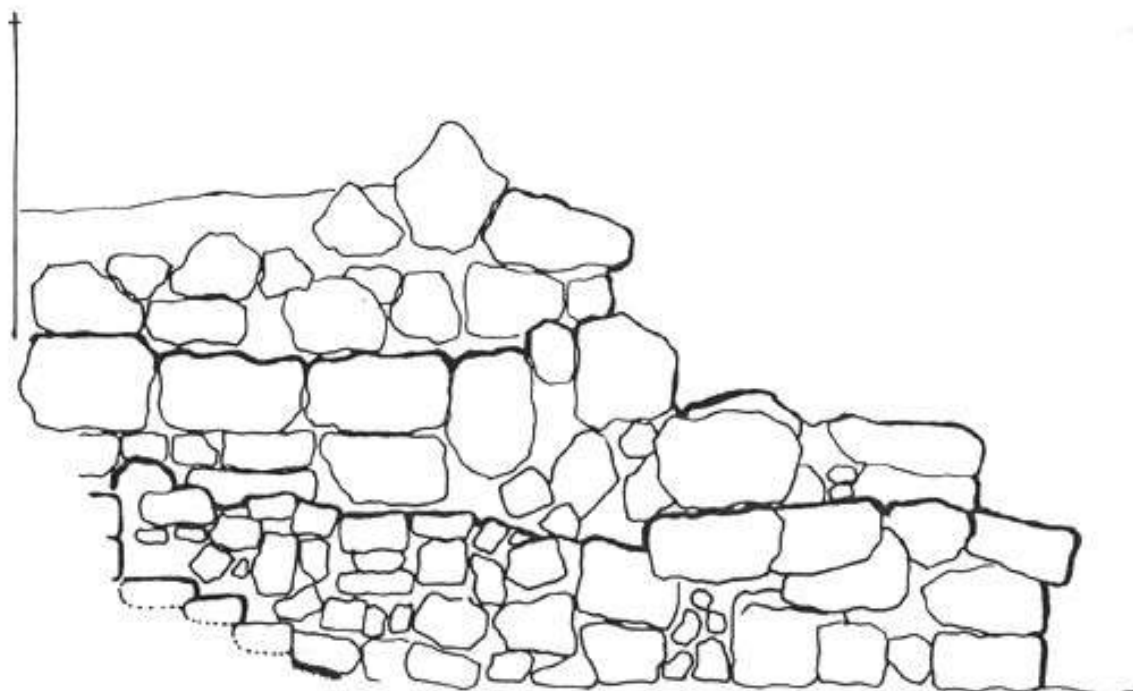


Figura 75. Estructura 2A21, ángulo noroeste, lado norte.

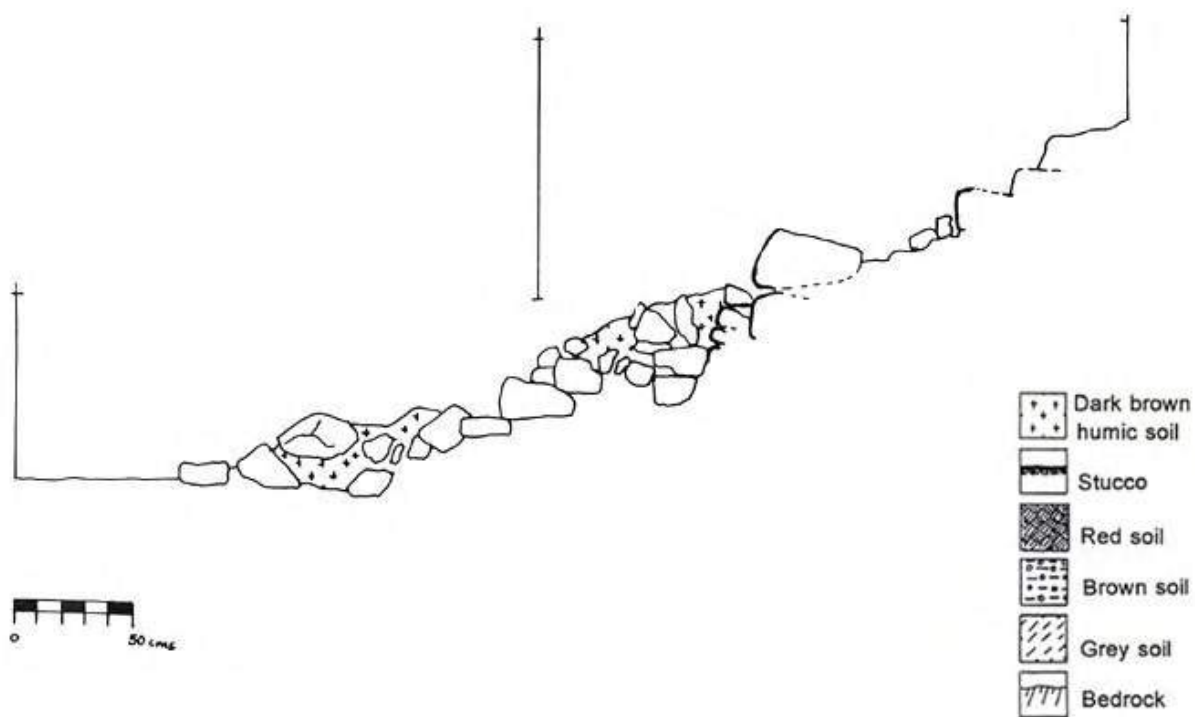


Figura 76. Estructura 2A21, corte transversal norte-sur, lado este de la trinchera norte.



Figura 77. Estructura 2A21, trinchera norte.



Figura 78. Estructura 2A21, escalera derrumbada, lado norte.

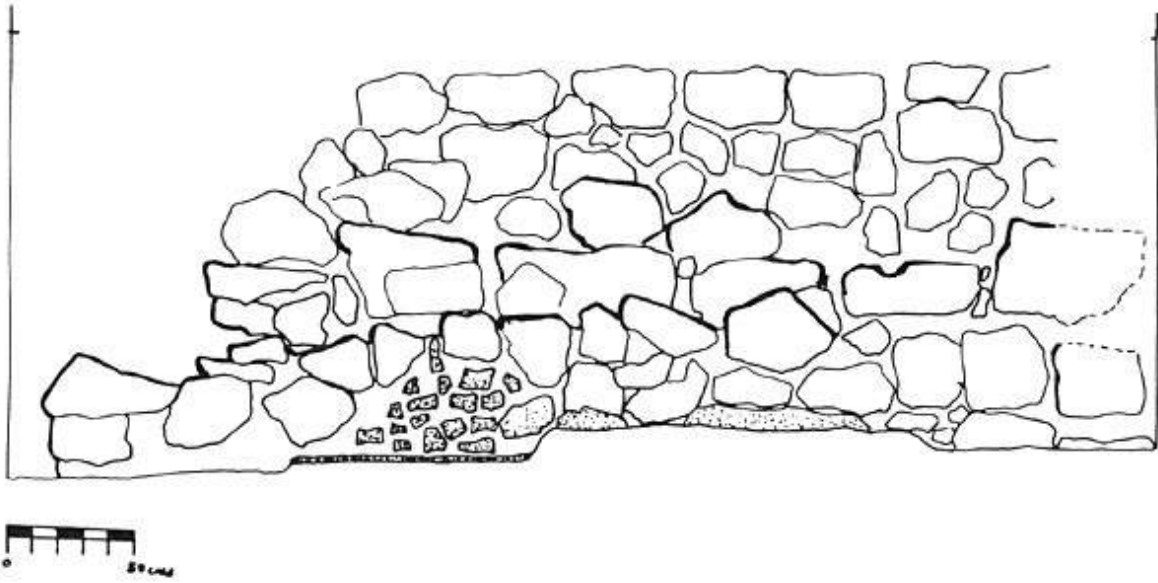


Figura 79. Estructura 2A21, ángulo noroeste, lado oeste.



Figura 80. Estructura 2A21, planta del lado oeste del ángulo noroeste.

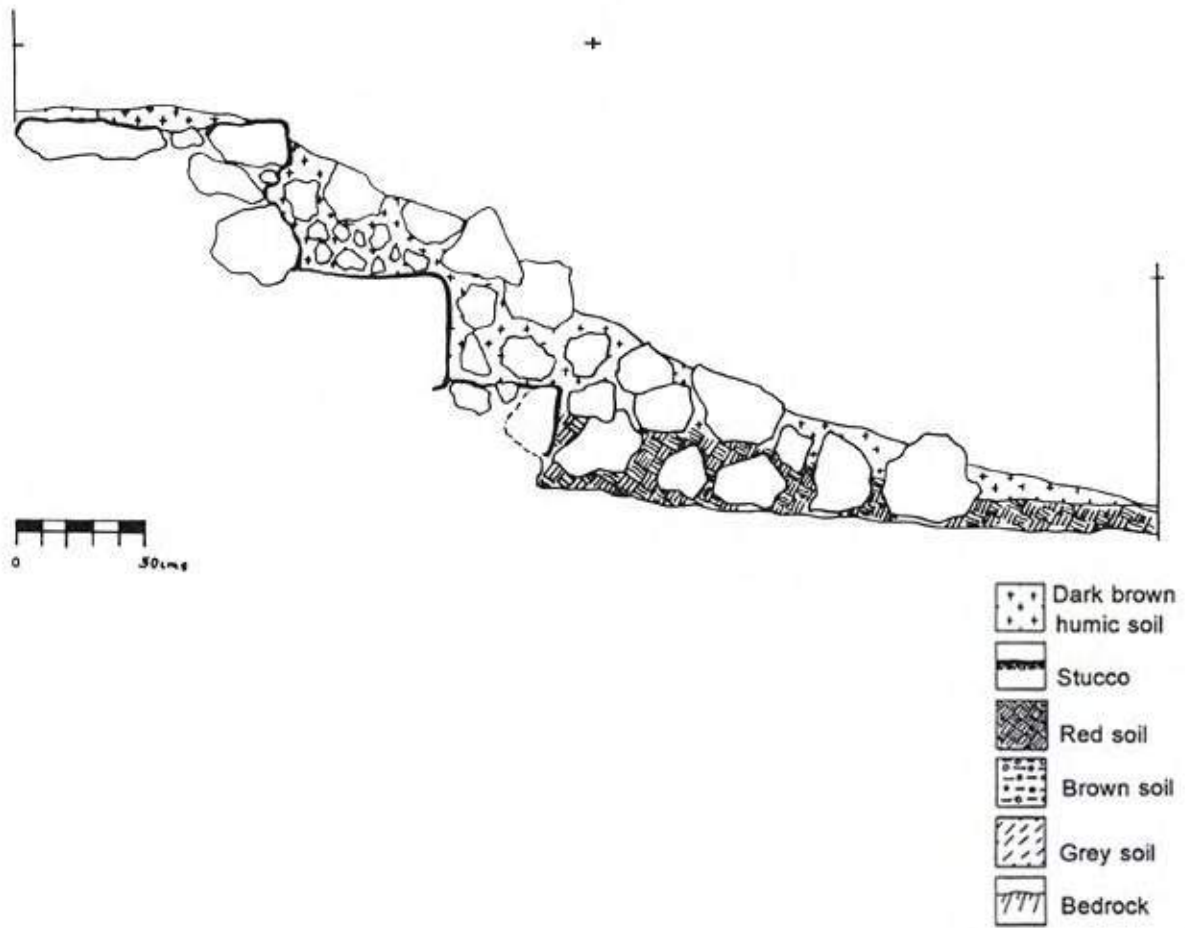


Figura 81. Corte transversal este-oeste, cara sur de la trinchera oeste.



Figura 82. Estructura 2A21, excavación de la trinchera oeste.



Figura 83. Estructura 2A21, trinchera oeste.



Figura 84. Estructura 2A21, trinchera oeste.



Figura 85. Estructura 2A21, trinchera oeste.



Figura 86. Estructura 2A21, trinchera oeste.



Figura 87. Lado oeste de la Estructura 2A21.



Figura 88. Estructura 2A21, perfil sur de la trinchera oeste.

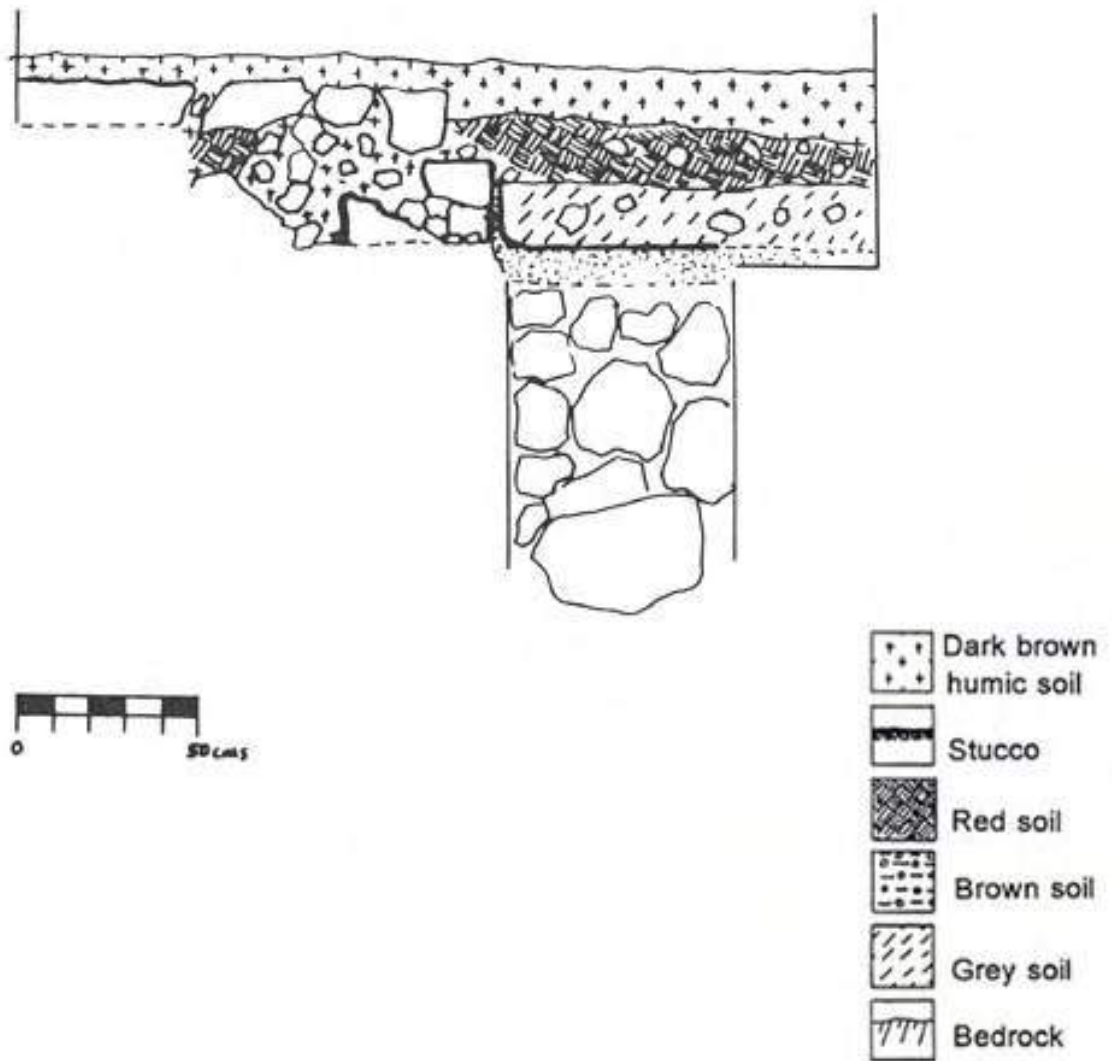


Figura 89. Excavación de prueba encima de la Estructura 2A21.

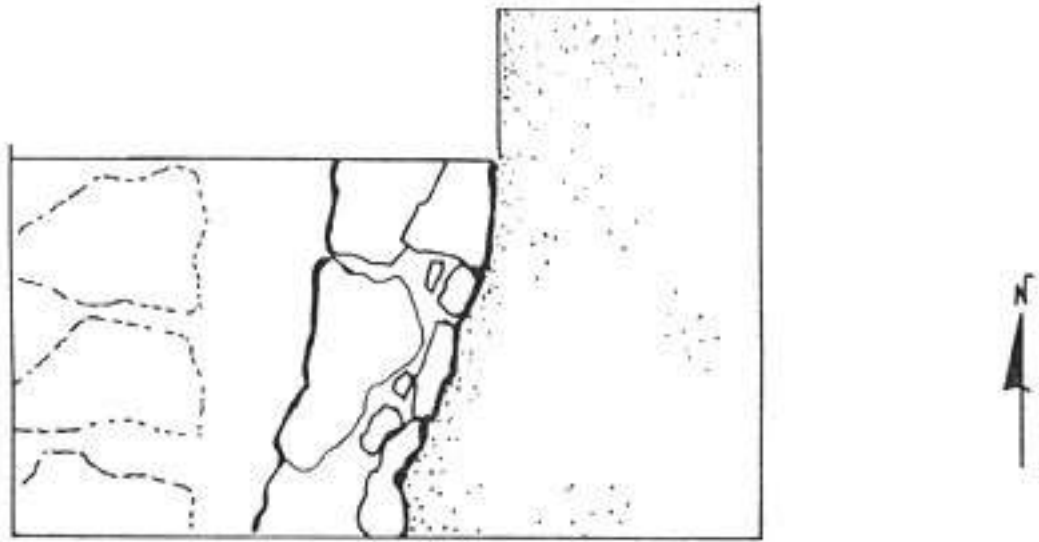


Figura 90. Plano de la excavación de prueba.



Figura 91. Estructura 2A21, inicio de la excavación de prueba en la parte superior de la estructura.



Figura 92. Estructura 2A21, excavación de la parte superior.



Figura 93. Estructura 2A21, piso de estuco hallado durante la excavación de prueba.



Figura 94. Estructura 2A21, piso de estuco hallado durante la excavación de prueba.



Figura 95. Estructura 2A21, piso de estuco hallado durante la excavación de prueba.



Figura 96. Estructura 2A21, detalle del piso de estuco y del relleno de construcción de una posible subestructura.



Figura 97. Estructura 2A21, excavación de prueba debajo del piso de estuco.

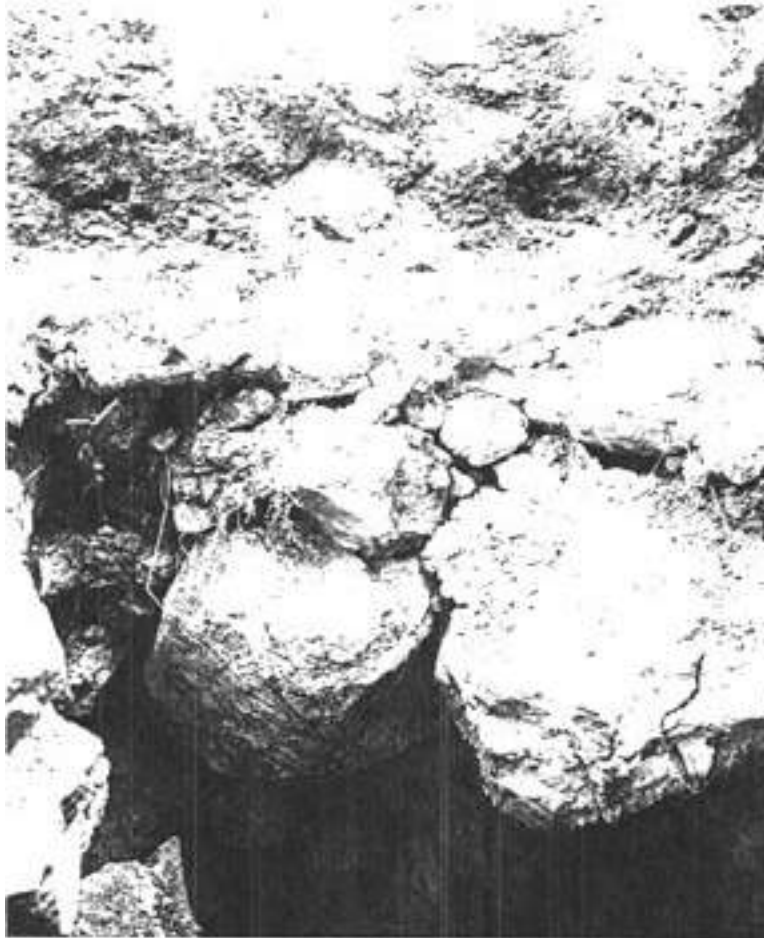


Figura 98. Estructura 2A21, excavación de prueba, vista desde la capa de estuco y el relleno constructivo.



Figura 99. Restauración del ángulo noroeste de 2A21.



Figura 100. Vista de la estructura 2A22 antes de la excavación, como se ve desde la Estructura 2A21.

Estructura 2A22

Esta estructura es un altar que se encuentra ubicado en el centro del Grupo del Sacbé 61 ([Figura 3](#), [Figura 100](#), [Figura 101](#), [Figura 102](#), [Figura 103](#), [Figura 104](#), [Figura 105](#), [Figura 106](#), [Figura 107](#), [Figura 108](#), [Figura 124](#), [Figura 125](#), [Figura 126](#), y [Figura 127](#)). Las excavaciones dejaron al descubierto los cimientos y dos hiladas de piedras que formaban los muros del altar. Una hilada superior de piedras formaba la cornisa del altar.

Las excavaciones en el interior del altar dejaron a la vista un segundo altar, o Estructura 2A22-sub, que había sido construido con piedras burdas ([Figura 109](#), [Figura 110](#), [Figura 111](#), [Figura 112](#), [Figura 113](#), [Figura 114](#), [Figura 115](#), [Figura 116](#), [Figura 117](#), [Figura 118](#), [Figura 119](#), [Figura 120](#), [Figura 121](#), [Figura 122](#), y [Figura 123](#)). Durante la excavación de ambos altares se hallaron muy pocos tiestos.

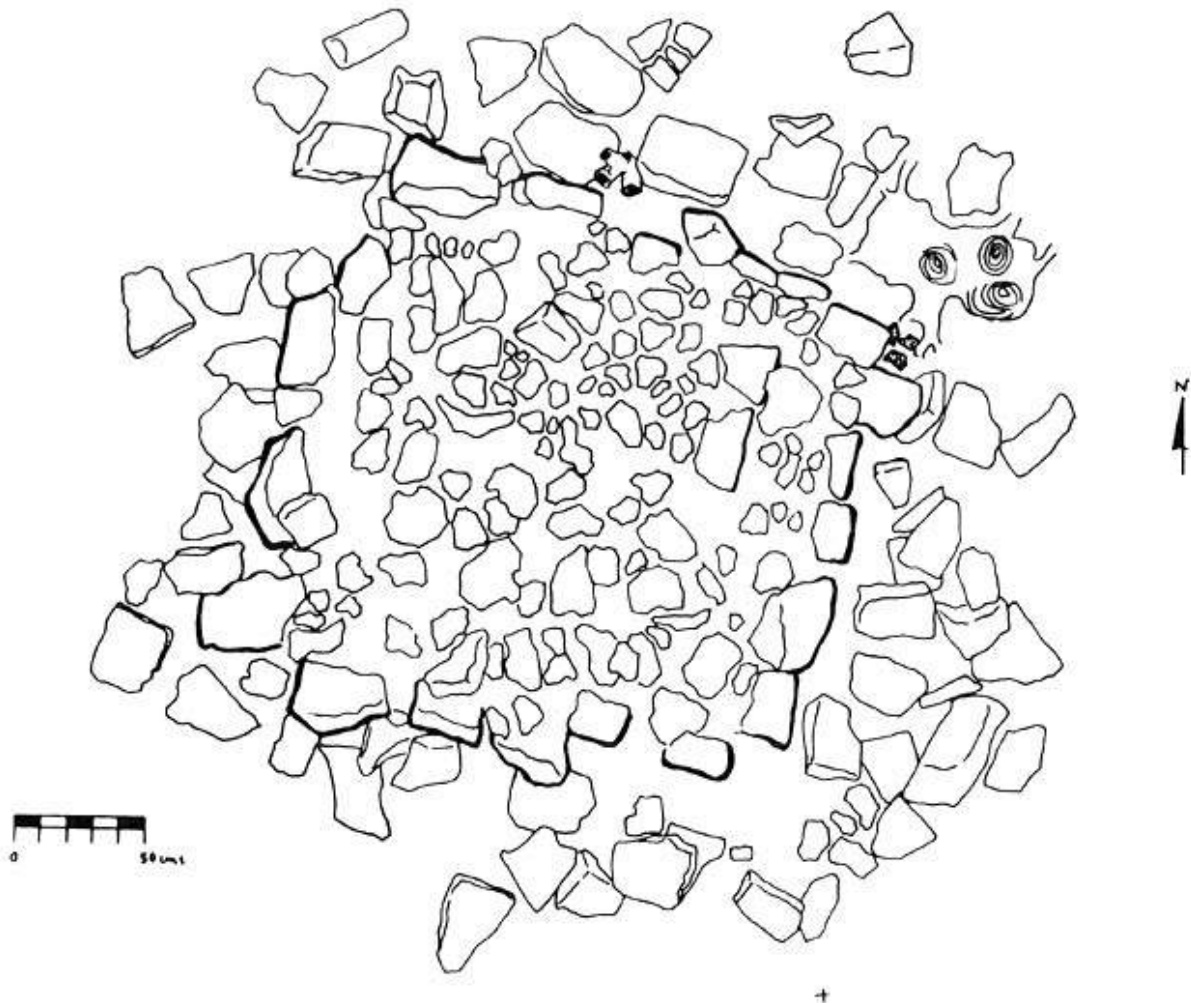


Figura 101. Vista en planta de la Estructura 2A22.



Figura 102. Estructura 2A22, lado norte antes de la excavación.



Figura 103. Estructura 2A22, vista de sur a norte antes de la excavación.

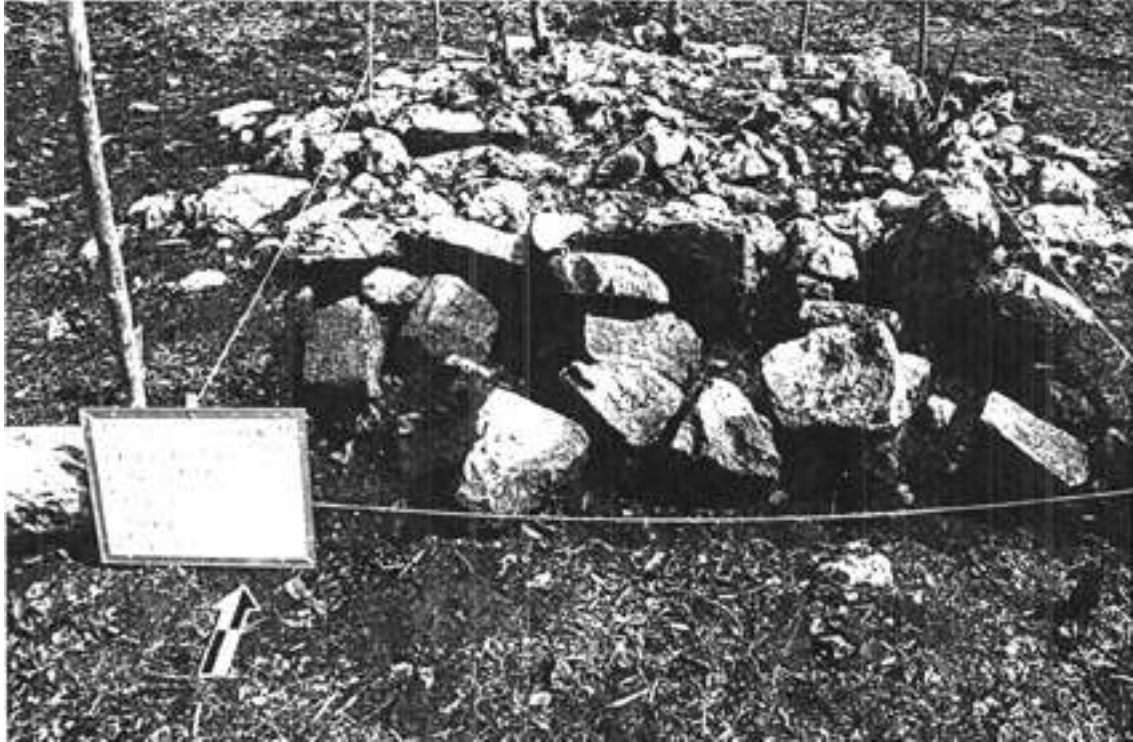


Figura 104. Estructura 2A22, excavación del lado sur.



Figura 105. Estructura 2A22, lado sur.



Figura 106. Estructura 2A22, Cuadrángulo 17R.



Figura 107. Estructura 2A22, Cuadrángulo 16R antes de la excavación.



Figura 108. Estructura 2A22, Cuadrángulo 17R antes de la excavación.

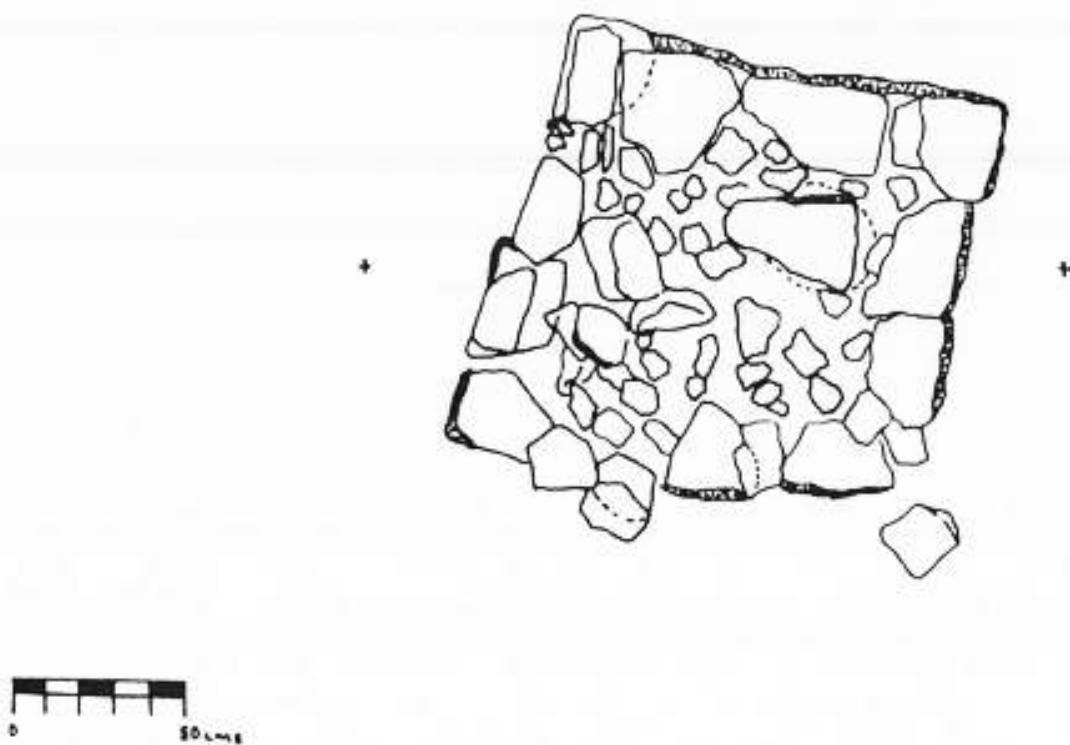


Figura 109. Vista en planta de la Estructura 2A22-sub.



Figura 110. Estructura 2A22-sub, perfil norte.

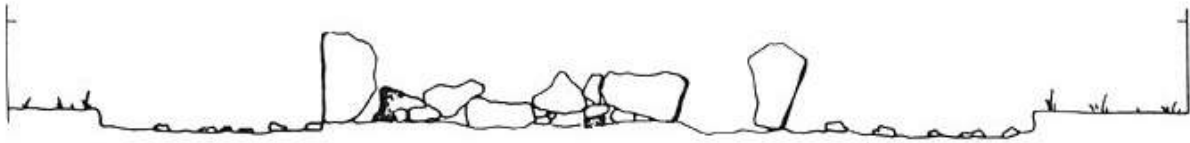


Figura 111. Estructura 2A22-sub, perfil sur.



Figura 112. Estructura 2A22-sub, perfil este.

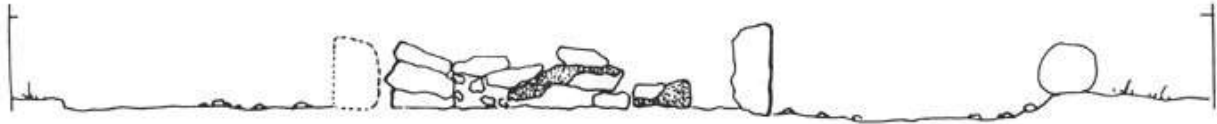


Figura 113. Estructura 2A22-sub, perfil oeste.

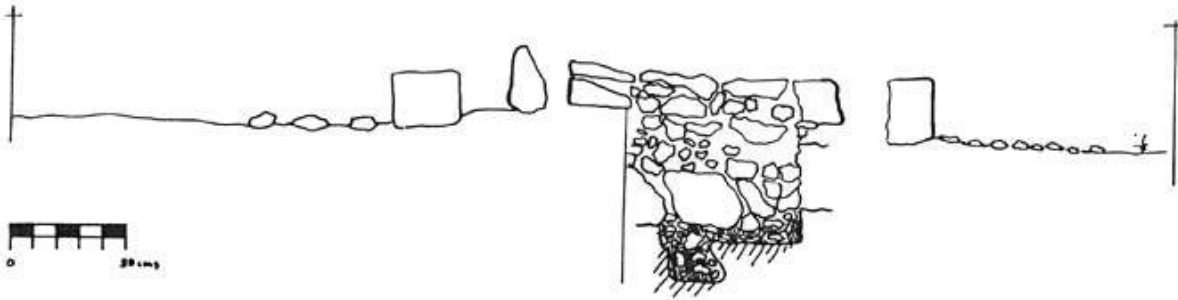


Figura 114. Estructura 2A22-sub, corte transversal norte-sur, perfil este de la excavación de prueba.



Figura 115. Estructura 2A22, Cuadrángulo 16R antes de excavar el Estrato III.



Figura 116. Estructura 2A22, Cuadrángulo 16Q antes de excavar el Estrato III.

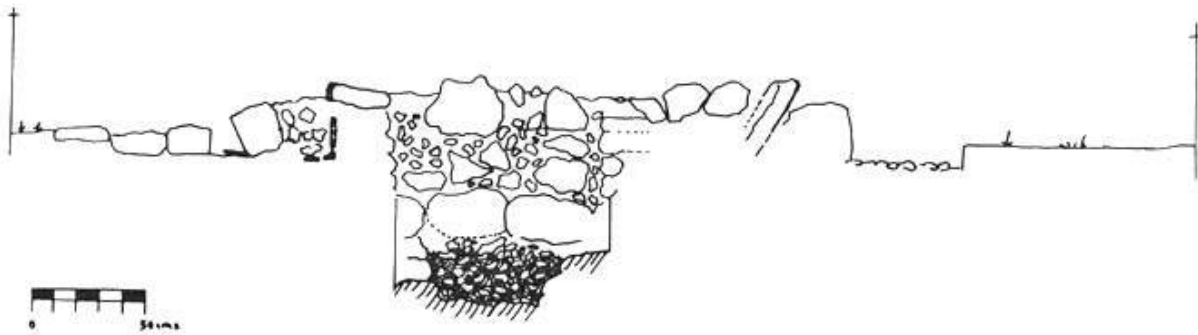


Figura 117. Estructura 2A22-sub, corte transversal este-oeste, perfil norte de la excavación de prueba.

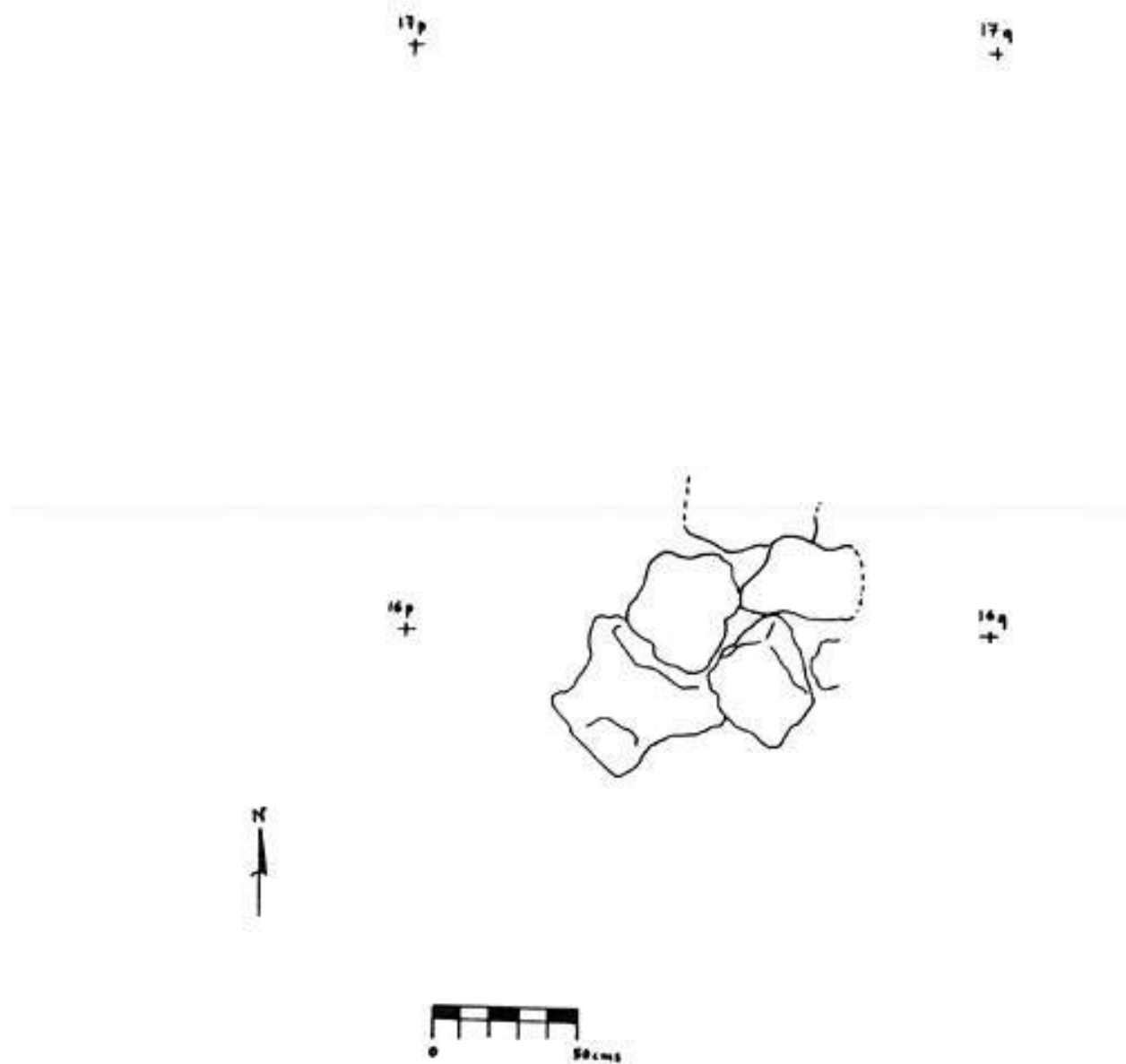


Figura 118. Estructura 2A22-sub, Estrato V con piedra de relleno.

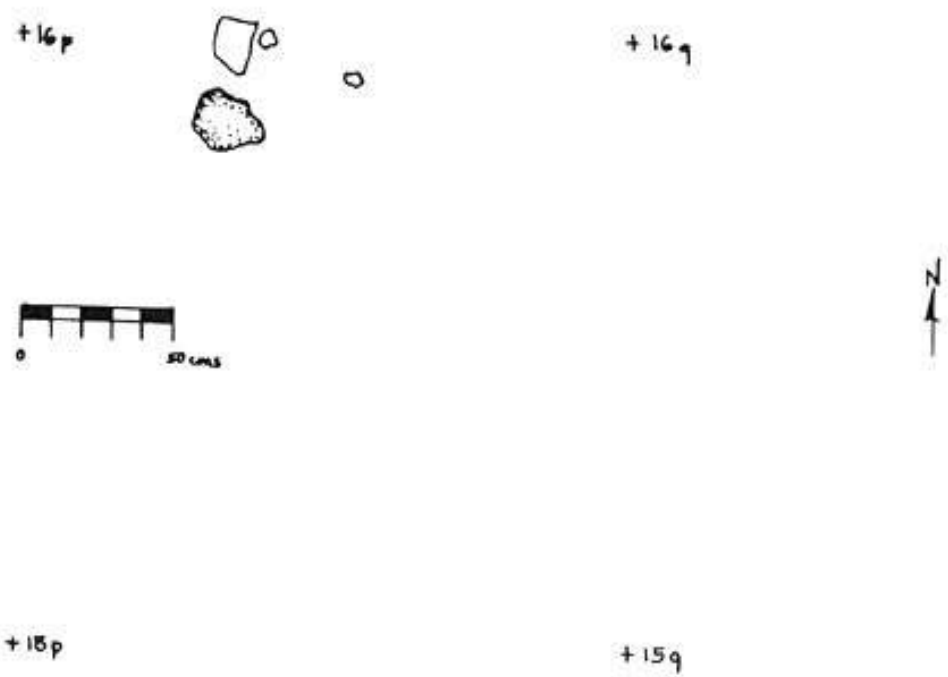


Figura 119. Estructura 2A22-sub, salpicaduras de estuco en el Estrato IV.

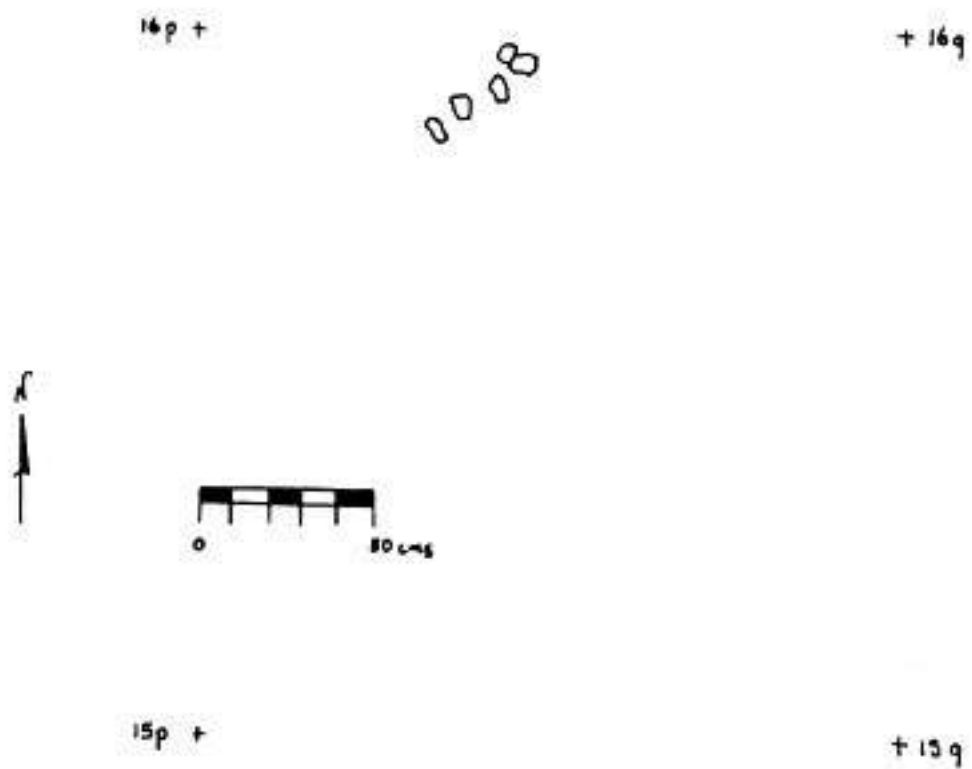


Figura 120. Estructura 2A22-sub, salpicaduras de estuco en el Estrato V.



Figura 121. Estructuras 2A22 y 2A22-sub después de la excavación.



Figura 122. Estructuras 2A22 y 2A22-sub después de rellenar esta última.



Figura 123. Restauración de la estructura 2A22-sub.



Figura 124. Vista de la estructura 2A22, en la parte de atrás se ve la Calzada 61.



Figura 125. Estructura 2A22, restauración del lado oeste.



Figura 126. Restauración de la Estructura 2A22, ángulo sudoeste.



Figura 127. Restauración de la estructura 2A22, lado sur.

Excavaciones de Prueba

Se efectuaron ocho excavaciones de prueba durante la temporada de campo de 1997 en los diferentes grupos arquitectónicos donde finalizan las calzadas. Las excavaciones fueron emprendidas en los grupos siguientes: Grupo Alux asociado con el final de la Calzada 14 en el Cuadrante 1Z (excavación de prueba 1), el Grupo del Lejano Este asociado con el final de la Calzada 19 en el Cuadrante 3G (excavación de prueba 8), Grupo de Plazas asociado con el final de la Calzada 20 en el Cuadrante 3F (excavación de prueba 6), Grupo Chultún asociado con el final de la Calzada 34 en el Cuadrante 4F (excavación de prueba 7), Grupo Holtún asociado con el final de la Calzada 41 en el Cuadrante 1Y (excavación de prueba 4), Grupo del Sacbé 43 asociado con el final de la Calzada 43 en el Cuadrante 1Z (excavación de prueba 2), Grupo de estructuras 1X9-1X14 ubicado al norte de la Calzada 44 en el Cuadrante 1X (excavación de prueba 3), Grupo Holtún de Juego de Pelota asociado con el final de la Calzada 47 en el Cuadrante 21Y (excavación de prueba 5).

Las excavaciones de prueba dejaron al descubierto diferentes materiales arqueológicos de distintos contextos. Por ejemplo, se hallaron pisos de estuco asociados con elementos arquitectónicos en las excavaciones de prueba número 3 ([Figura 142](#), [Figura 143](#), [Figura 144](#), [Figura 145](#), [Figura 146](#), [Figura 147](#), y [Figura 148](#)), número 4 ([Figura](#)

149, [Figura 150](#), [Figura 151](#), [Figura 152](#), [Figura 153](#), [Figura 154](#) y [Figura 155](#)), y número 6 ([Figura 160](#), [Figura 161](#), [Figura 162](#), y [Figura 163](#)). Los muros de las subestructuras aparecieron en las excavaciones de prueba número 1 ([Figura 129](#), [Figura 130](#), [Figura 131](#), [Figura 132](#), [Figura 133](#), [Figura 134](#), [Figura 135](#), [Figura 136](#), y [Figura 137](#)), número 5 ([Figura 157](#), [Figura 158](#), y [Figura 159](#)), y número 7 ([Figura 164](#), [Figura 165](#), [Figura 166](#), [Figura 167](#), [Figura 168](#), y [Figura 169](#)). El relleno seco del núcleo de las plataformas fue hallado en las excavaciones de prueba número 2 ([Figura 138](#), [Figura 139](#), [Figura 140](#), y [Figura 141](#)) y número 8 ([Figura 170](#), [Figura 171](#), y [Figura 172](#)).

El análisis cerámico efectuado en los materiales descubiertos en el Grupo de Sacbé 61 y en las excavaciones de prueba, han revelado la presencia de los grupos cerámicos Sisal y Dzitás, que son los componentes principales del complejo cerámico Sotuta de Chichén Itzá. Los resultados de los análisis cerámicos y las fechas, obtenidos por medio de fechamientos cronométricos, serán usados para apoyar el argumento según el cual el apogeo de Chichén Itzá tuvo lugar entre el 800 y el 1050 d.C.

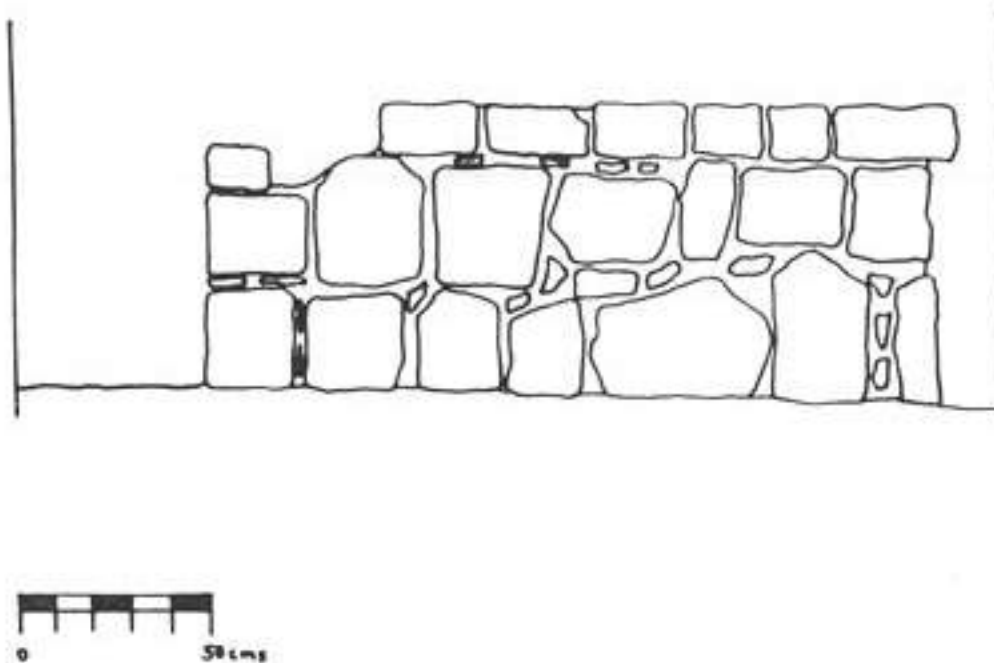


Figura 128. Estructura 2A22 después del trabajo de restauración.

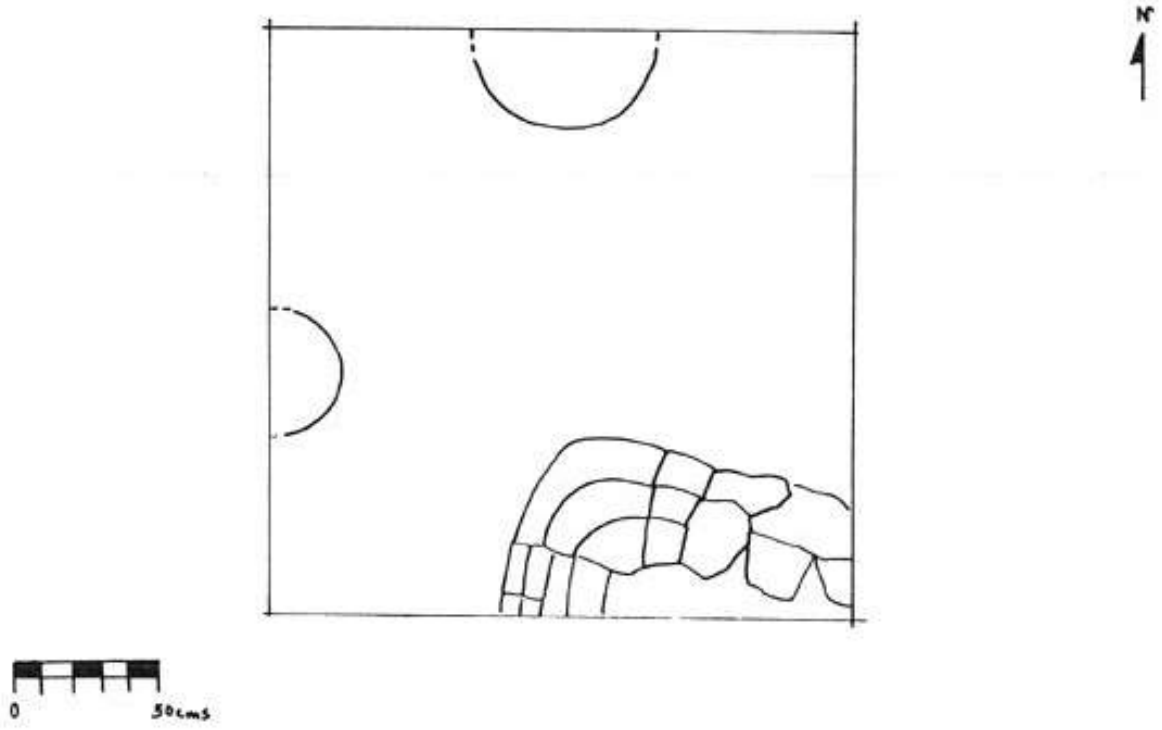


Figura 129. Excavación de prueba 1.

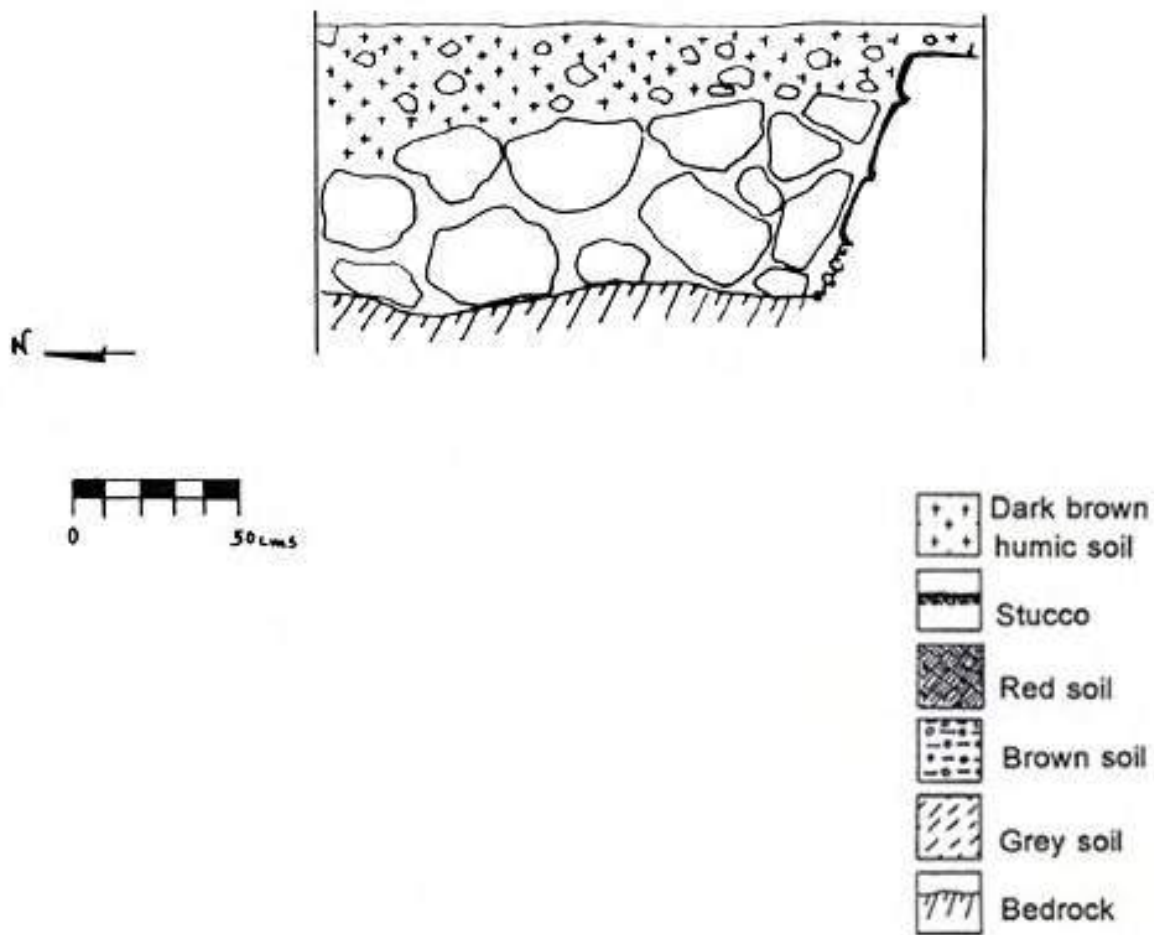


Figura 130. Excavación de prueba 1, perfil este.



Figura 131. Excavación de prueba 1, vista en planta de sur a norte.

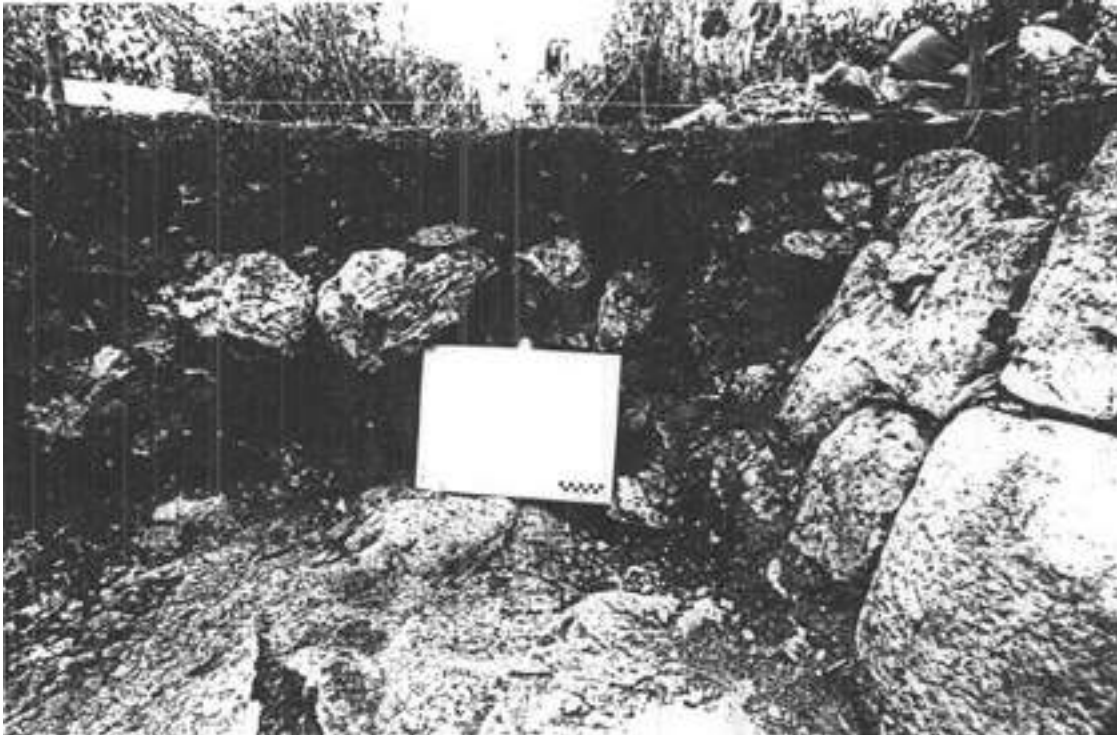


Figura 132. Excavación de prueba 1, perfil este.

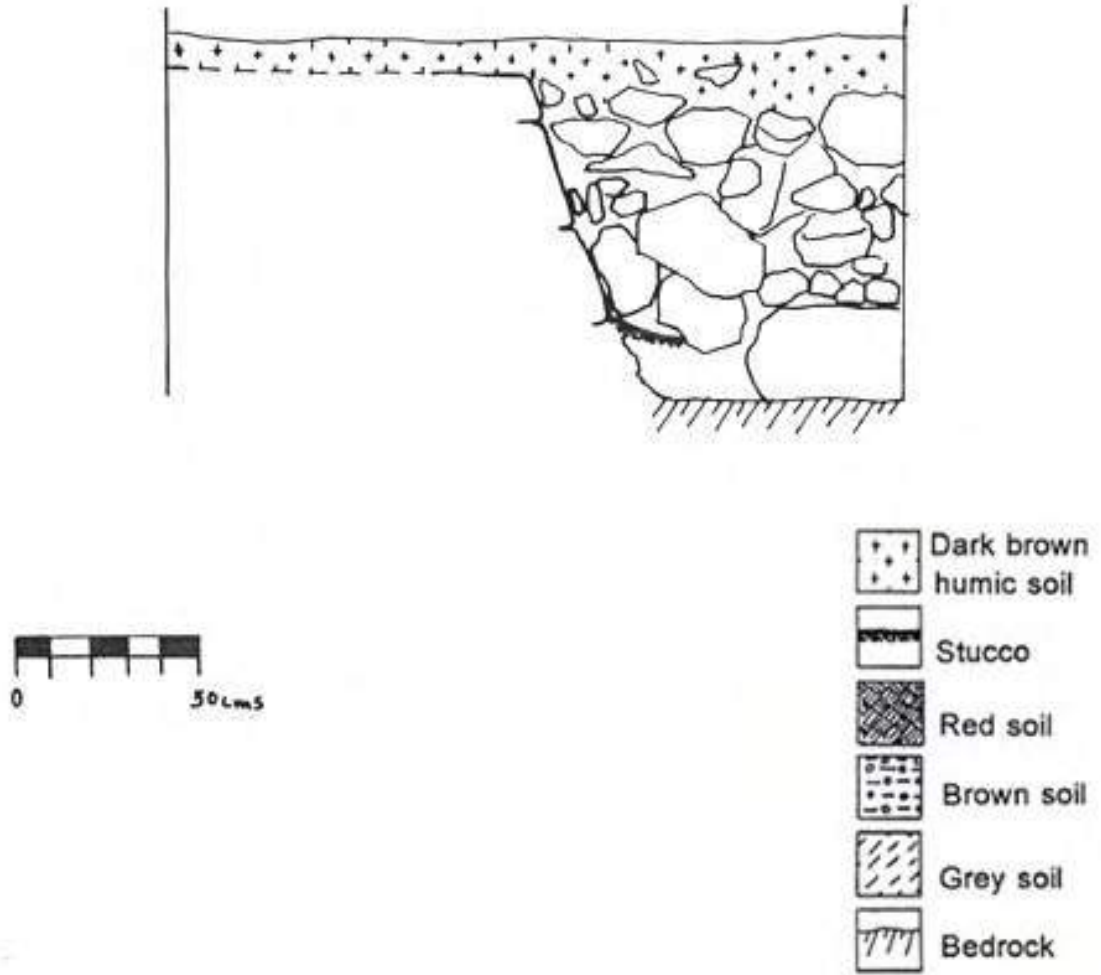


Figura 133. Excavación de prueba 1, perfil sur.



Figura 134. Excavación de prueba 1, perfil sur.



Figura 135. Excavación de prueba 1, perfil sur, nivel 3.

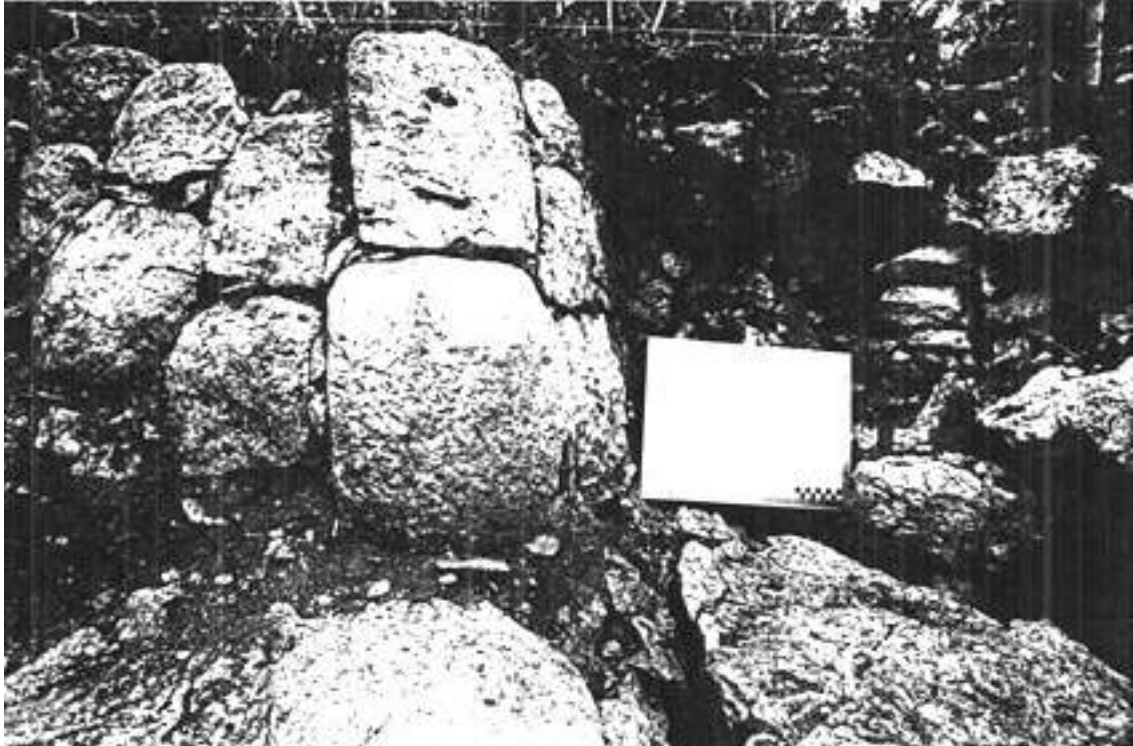


Figura 136. Excavación de prueba 1, perfil sur, ángulo de la subestructura y la excavación hasta el lecho rocoso.



Figura 137. Excavación de prueba 1, perfil oeste, nivel 3.



Figura 138. Excavación de prueba 2, excavación del nivel 1.

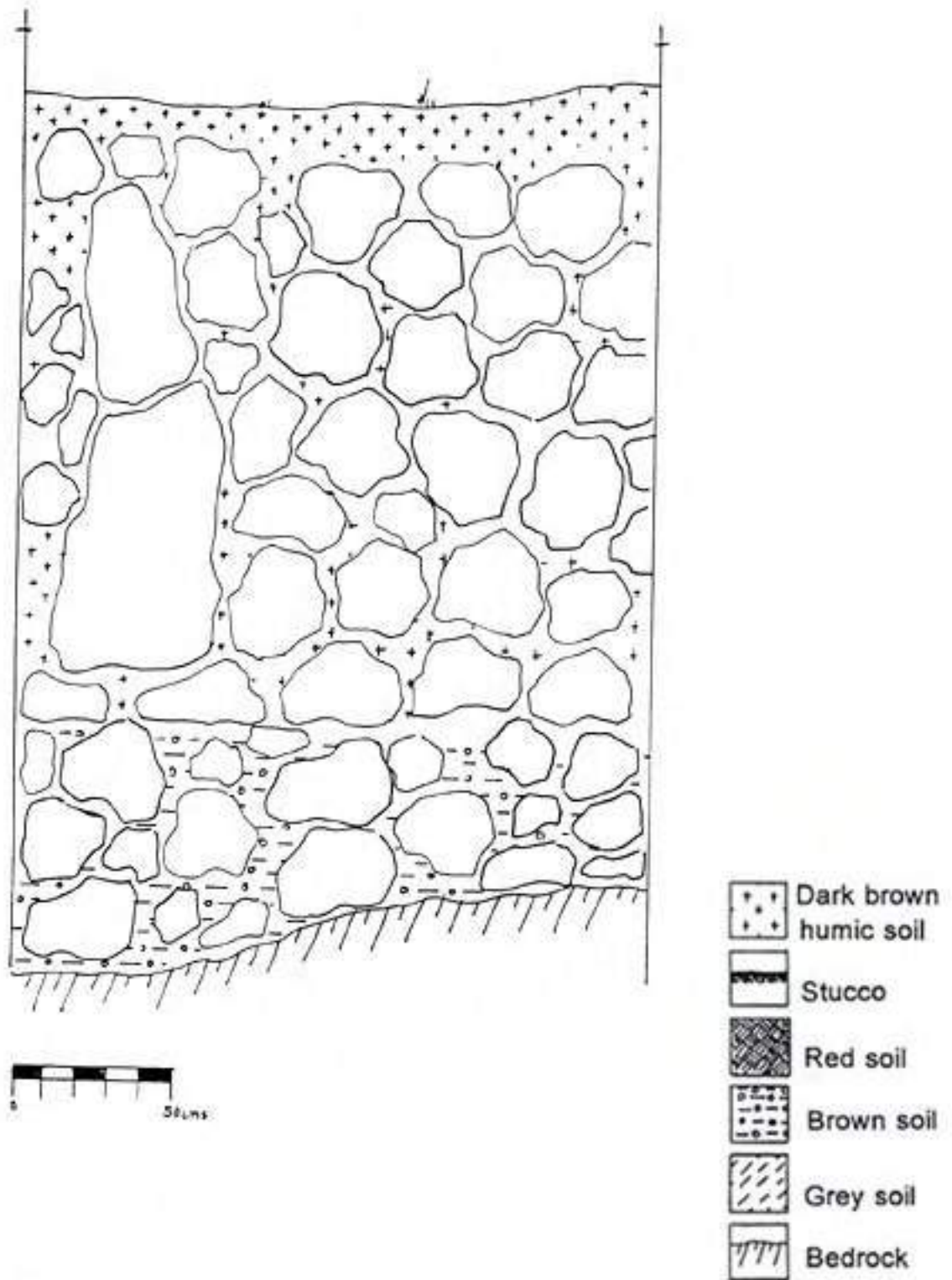


Figura 139. Excavación de prueba 2, perfil norte.



Figura 140. Excavación de prueba 2, perfil norte.



Figura 141. Excavación de prueba 2, perfil oeste y relleno de construcción.

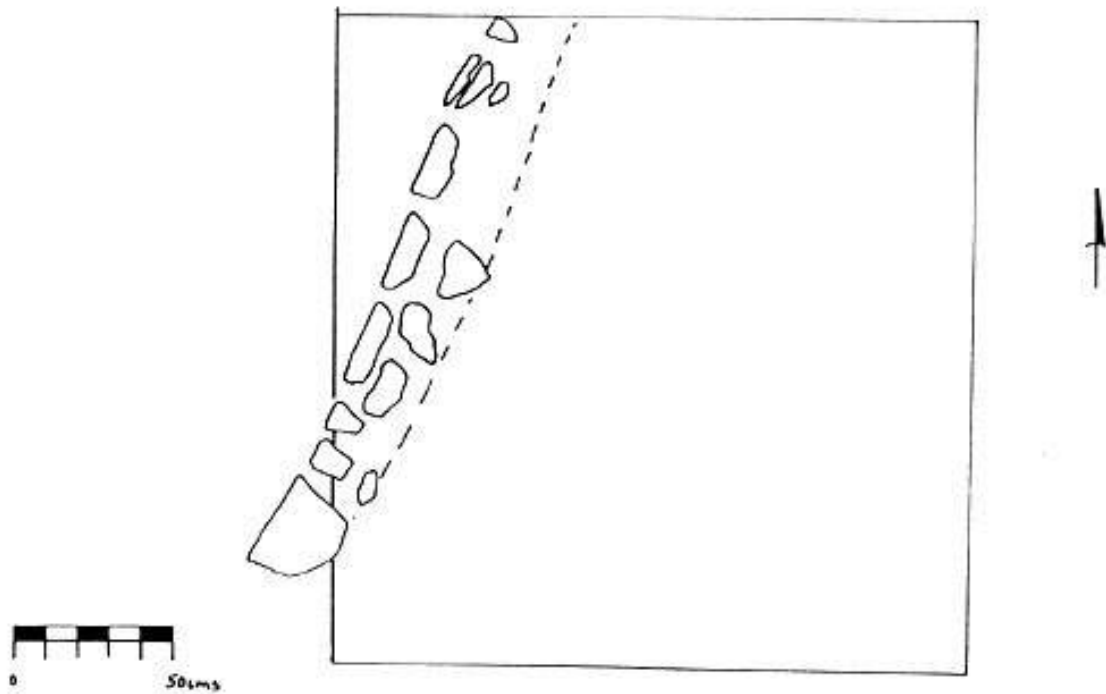


Figura 142. Excavación de prueba 3.



Figura 143. Excavación de prueba 3, detalle del piso de estuco visto de sur a norte.

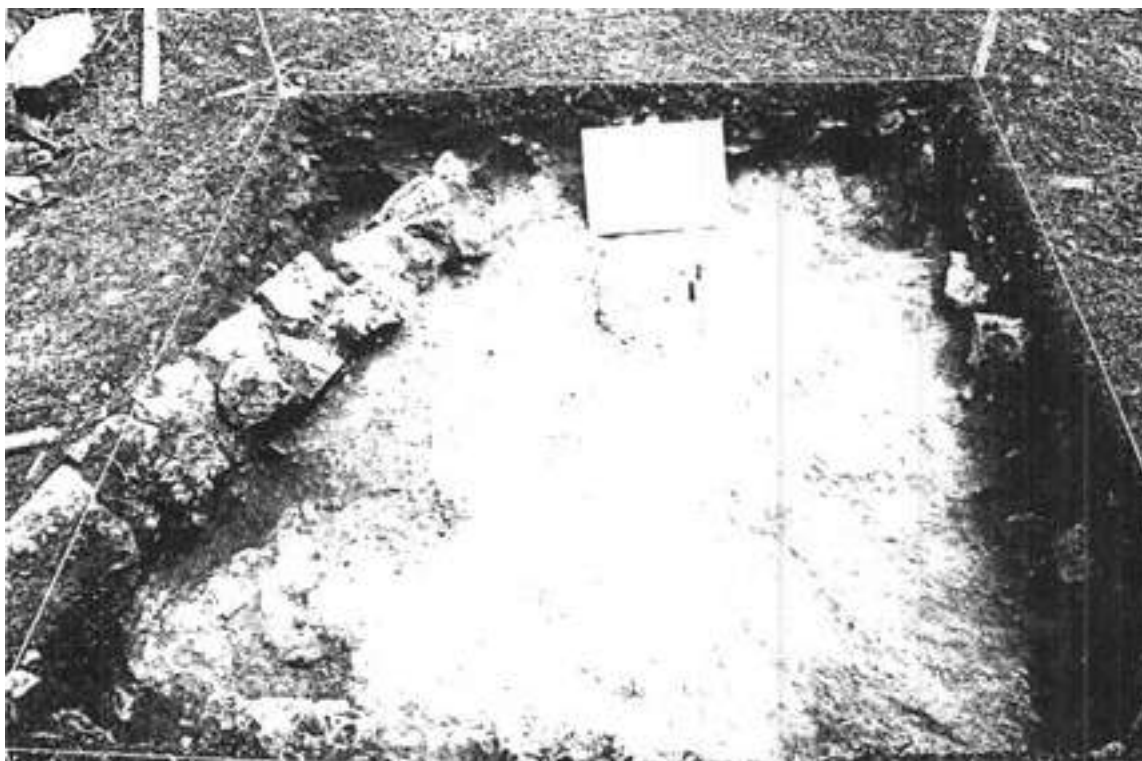


Figura 144. Excavación de prueba 3, alineamiento de piedras expuesto en el perfil oeste de la excavación.



Figura 145. Excavación de prueba 3, perfil oeste, detalle del alineamiento de piedras.



Figura 146. Excavación de prueba 3, excavación del nivel 3.

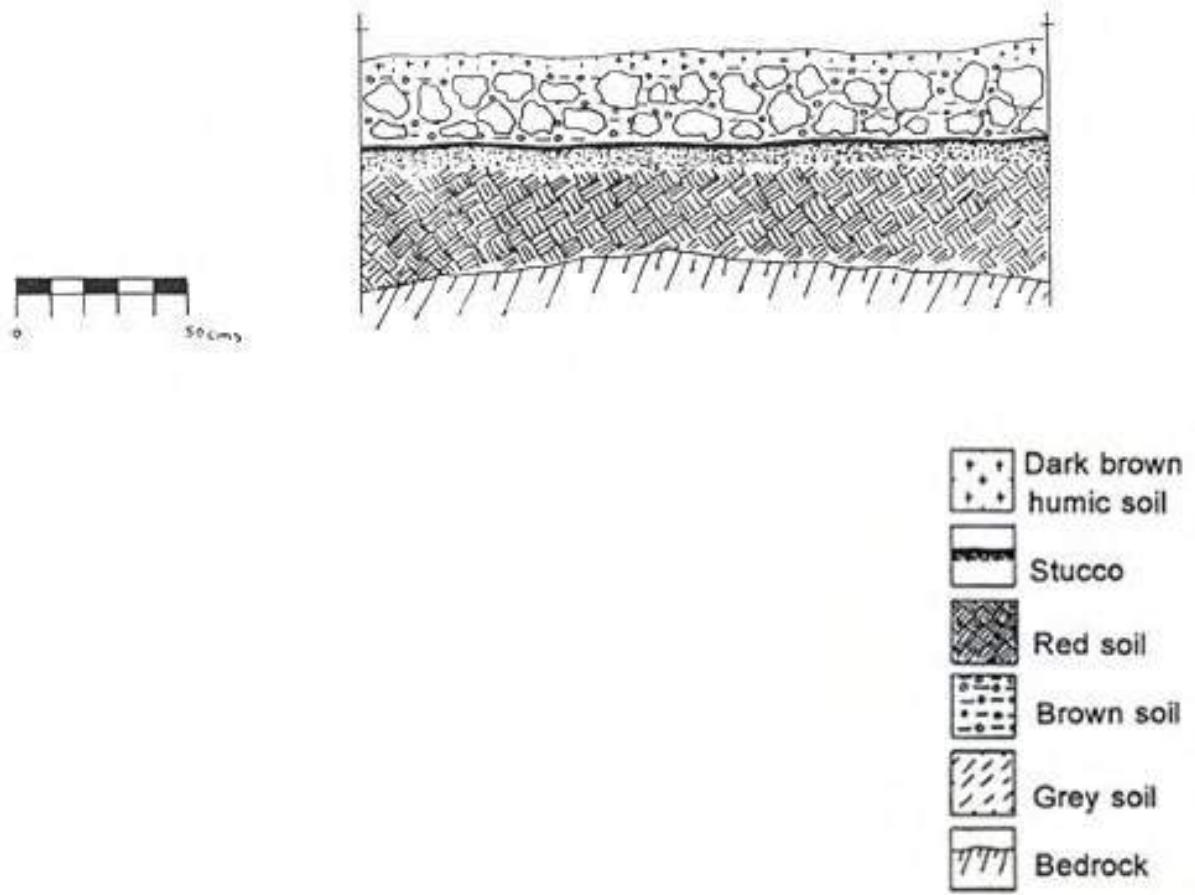


Figura 147. Excavación de prueba 3, perfil sur.

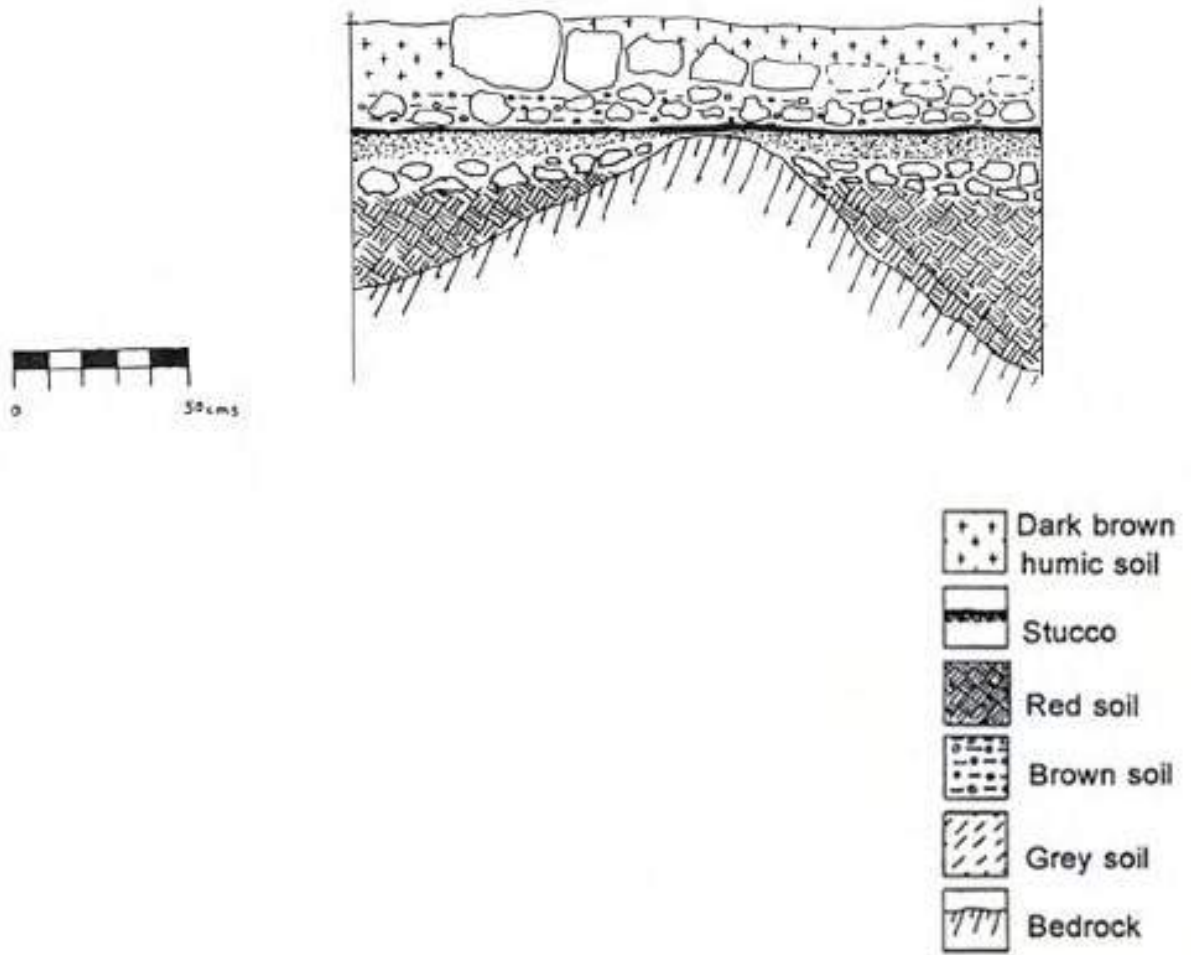


Figura 148. Excavación de prueba 3, perfil oeste.

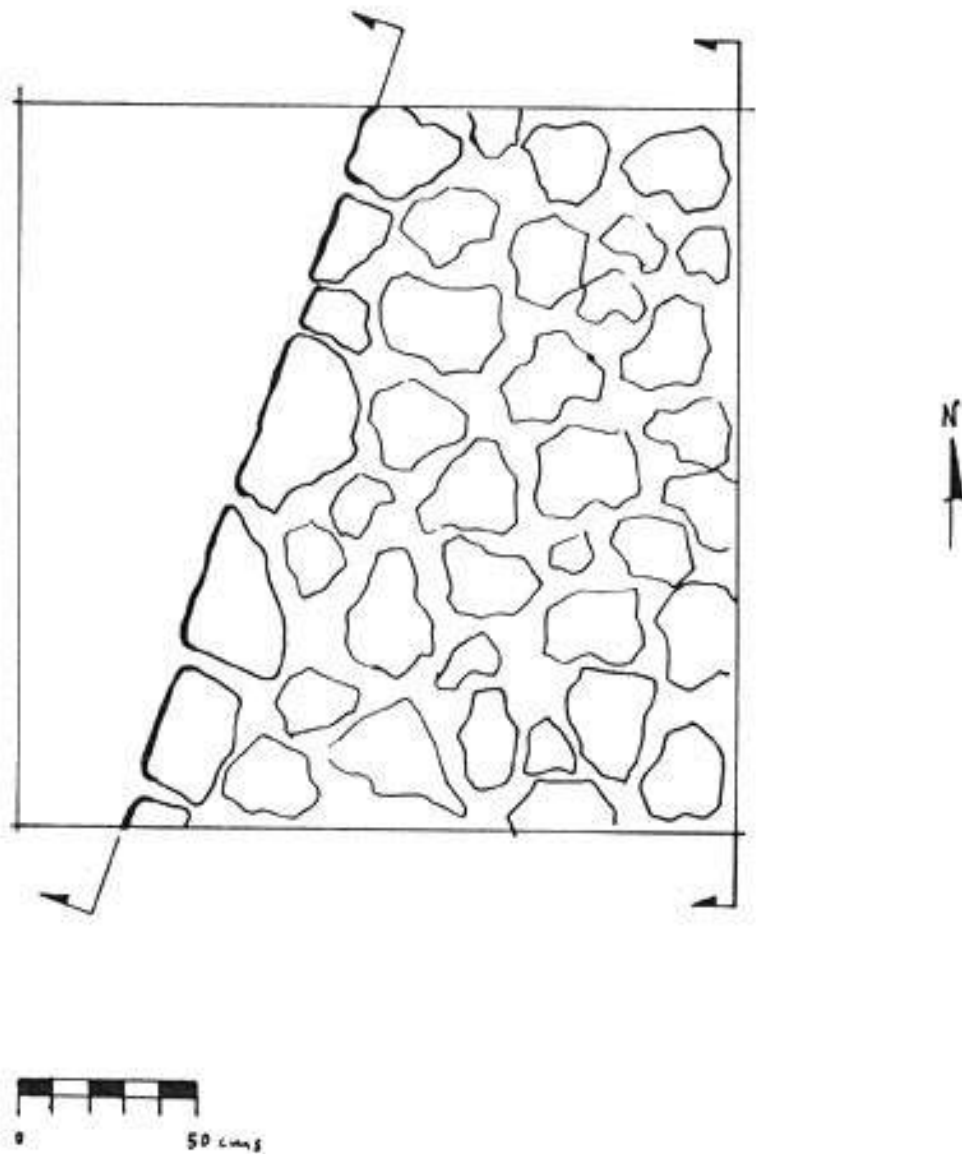


Figura 149. Excavación de prueba 4, vista en planta del relleno constructivo del Estrato II.



Figura 150. Test Excavación de prueba 4, excavación del nivel II y detalle del relleno constructivo.

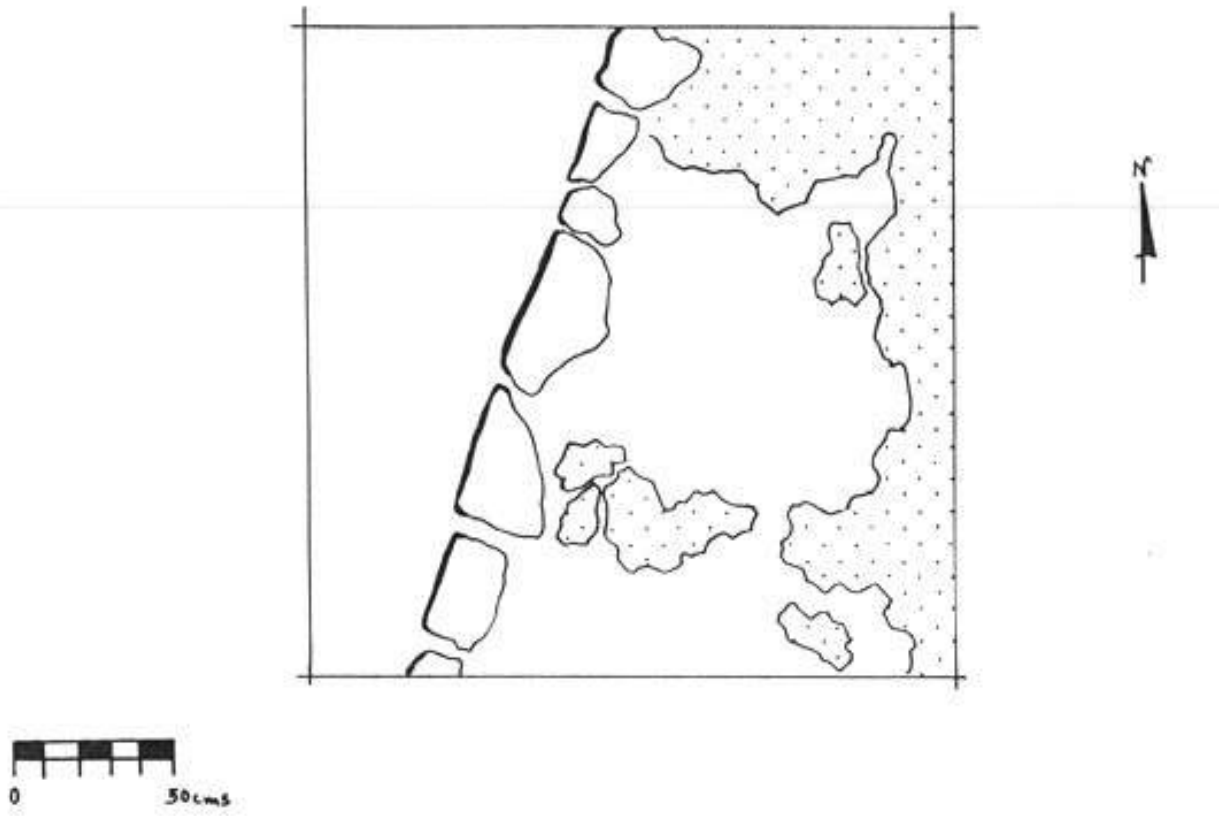


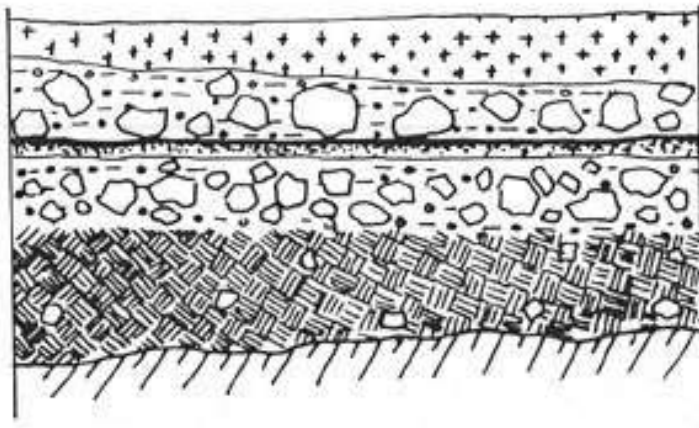
Figura 151. Excavación de prueba 4, piso de estuco.



Figura 152. Excavación de prueba 4, piso de estuco.



Figura 153. Excavación de prueba 4, detalle del piso de estuco.




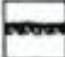




-  Dark brown humic soil
-  Stucco
-  Red soil
-  Brown soil
-  Grey soil
-  Bedrock

Figura 154. Excavación de prueba 4, perfil este.

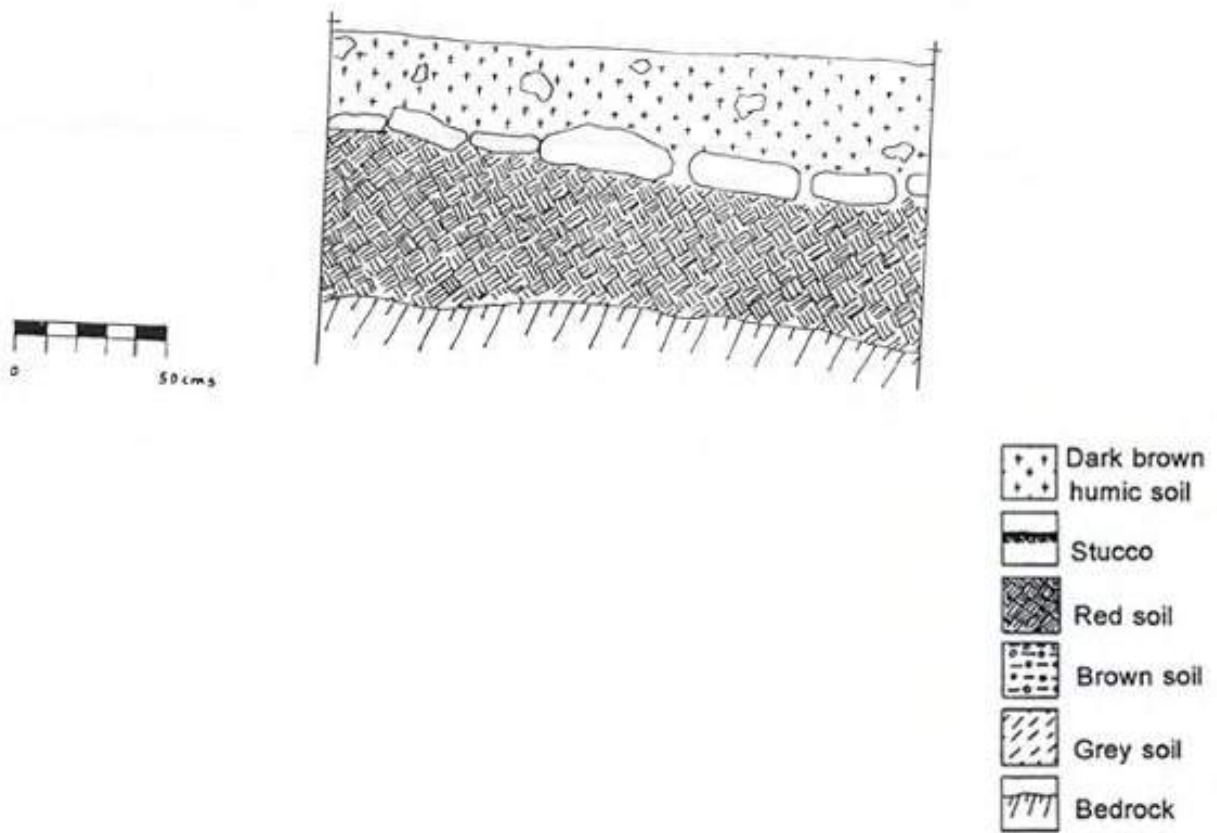


Figura 155. Excavación de prueba 4, perfil este, vista exterior del elemento.

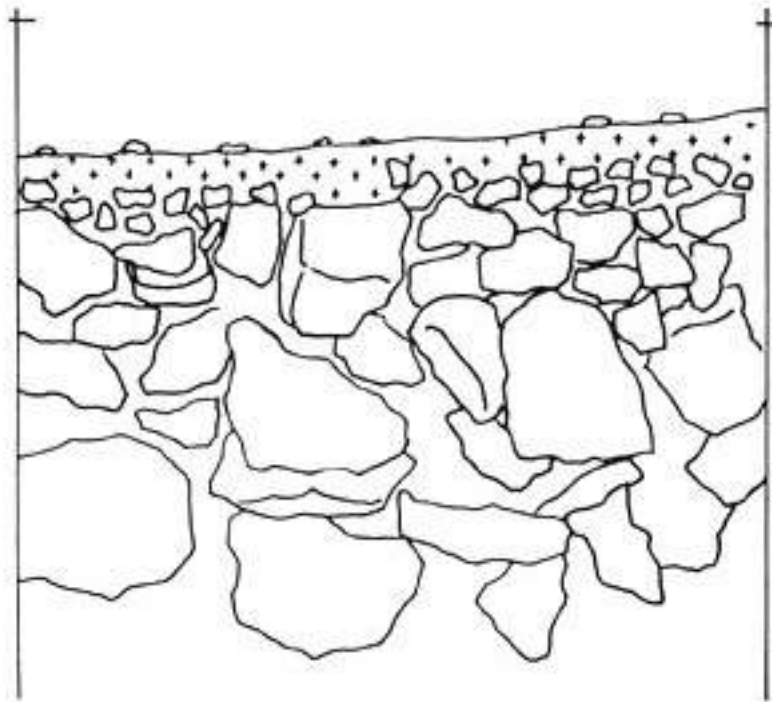


Figura 156. Excavación de prueba 5, perfil norte.

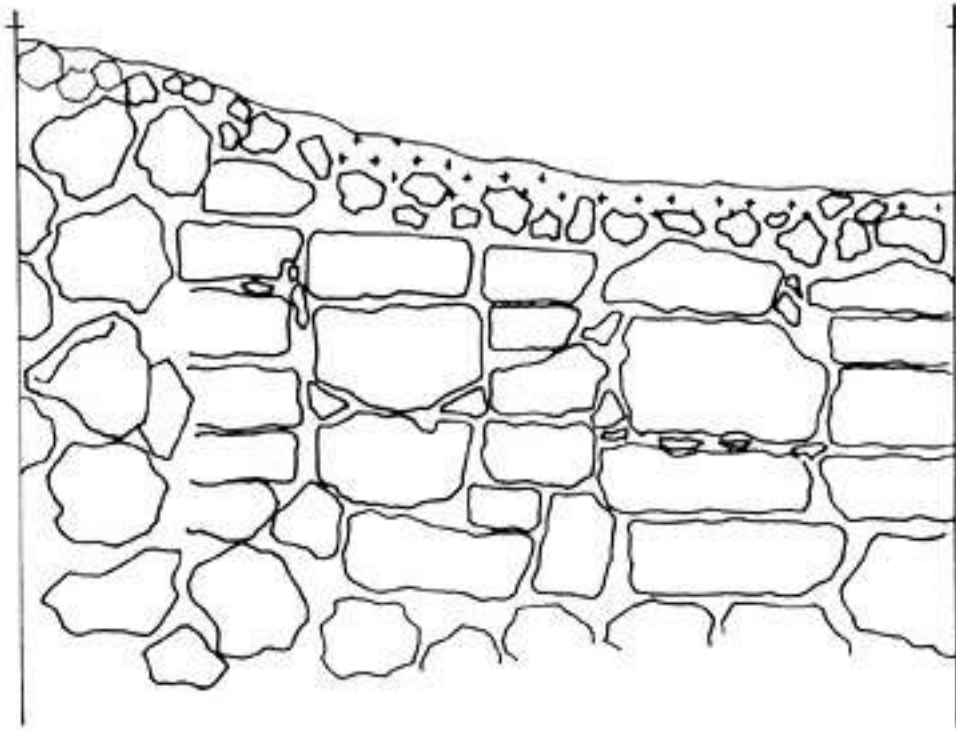


Figura 157. Excavación de prueba 5, perfil este.



Figura 158. Excavación de prueba 5, perfil norte.



Figura 159. Excavación de prueba 5, perfil este, vista del muro de la subestructura.



Figura 160. Excavación de prueba 6, nivel 1.

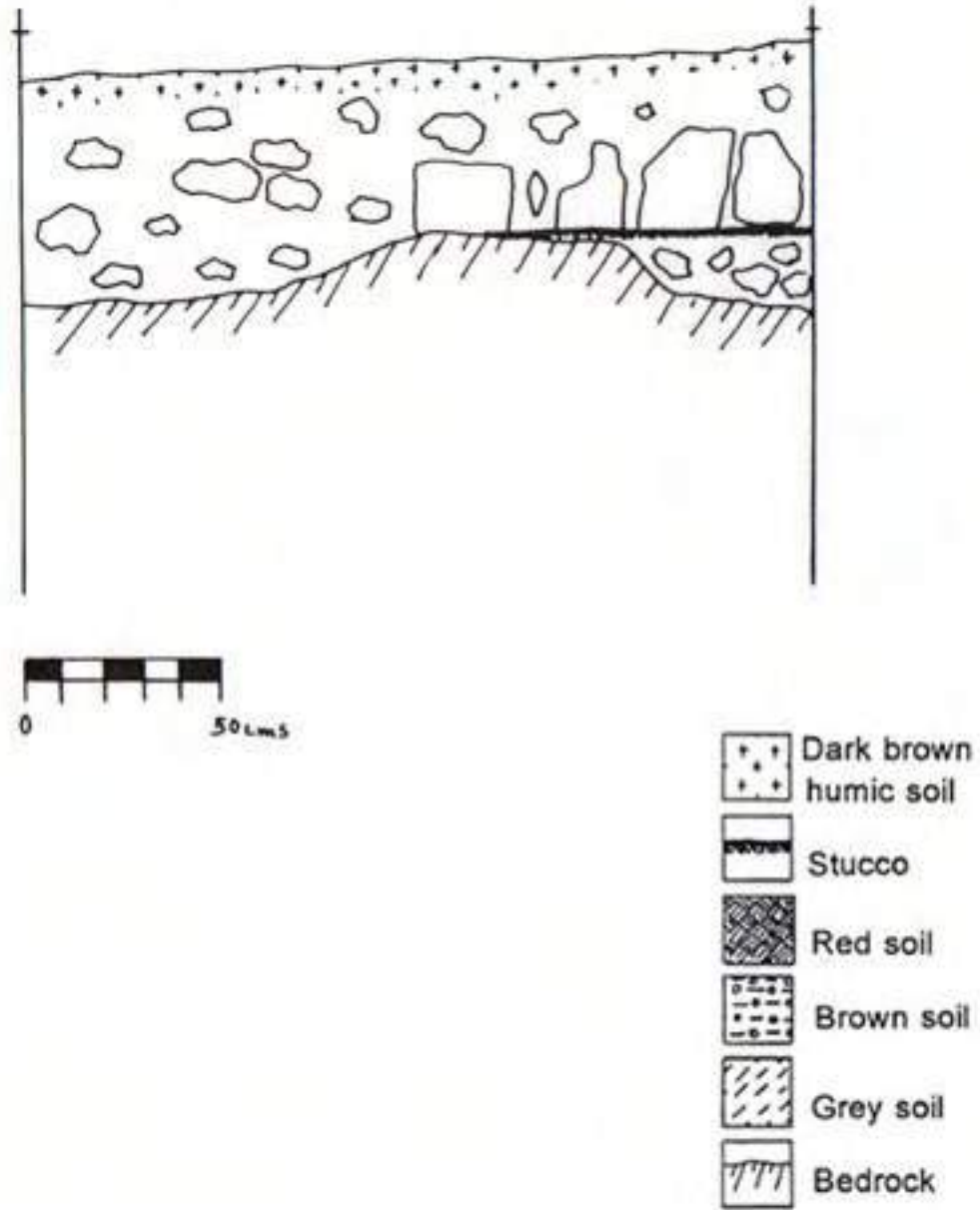


Figura 161. Excavación de prueba 6, perfil sur.



Figura 162. Excavación de prueba 6, detalle del alineamiento de piedras y restos del piso de estuco.



Figura 163. Excavación de prueba 6, excavación hasta el lecho rocoso.

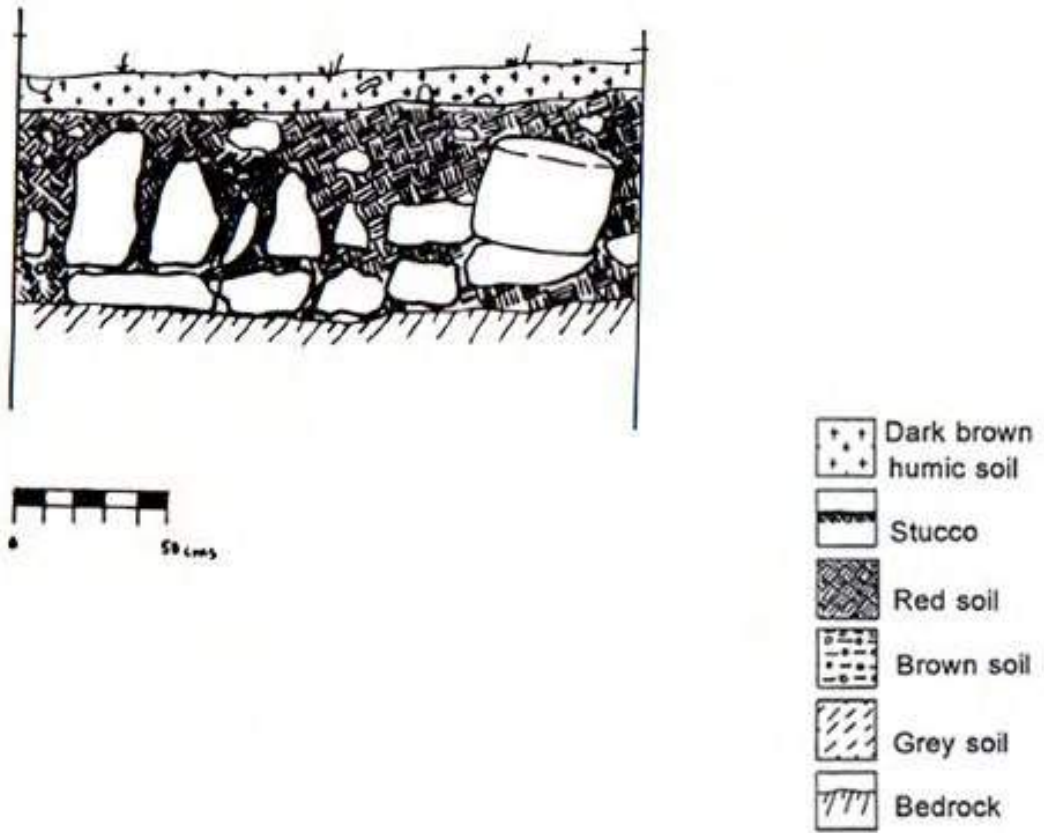


Figura 164. Excavación de prueba 7, corte transversal este-oeste, cara exterior, alineamiento sur.



Figura 165. Excavación de prueba 7, nivel II, durante la excavación.



Figura 166. Excavación de prueba 7, vista del alineamiento y del tambor de la columna de oeste a este.



Figura 167. Excavación de prueba 7, vista del alineamiento y del tambor de la columna de sur a norte.



Figura 168. Excavación de prueba 7, detalle de la concentración de cerámicas junto al tambor de la columna.

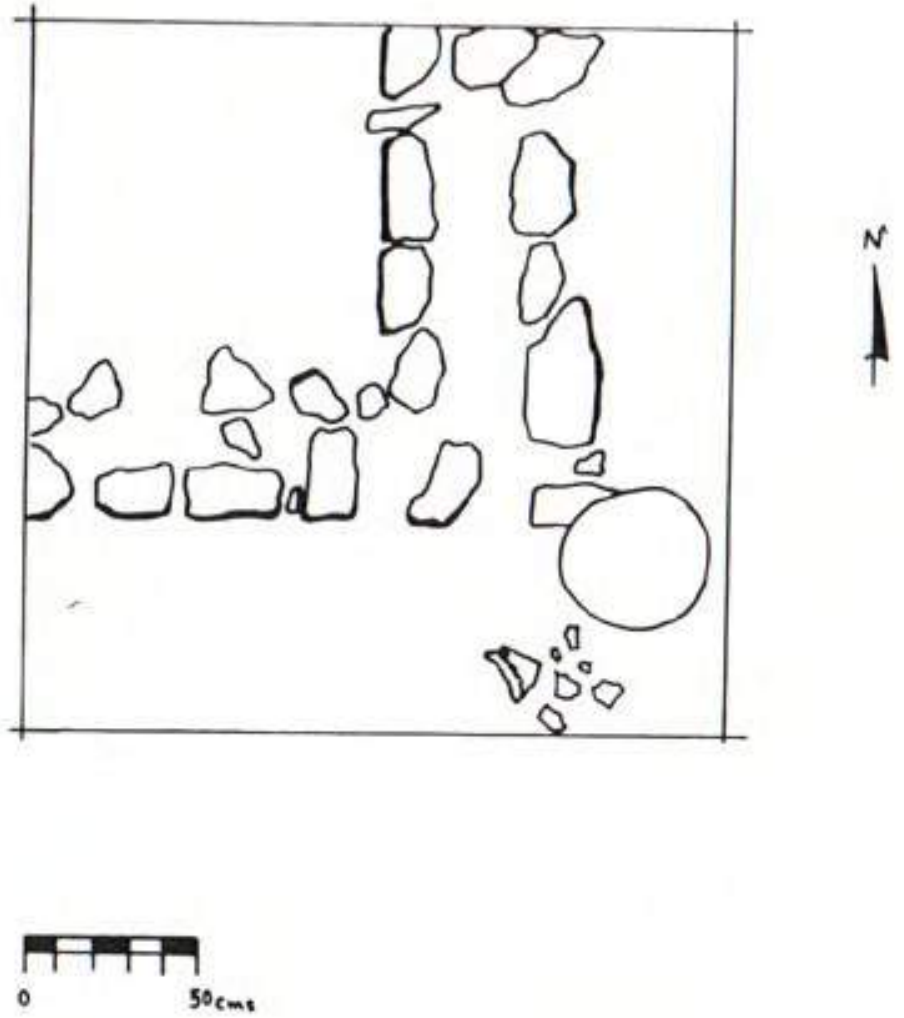


Figura 169. Excavación de prueba 7, vista en planta del Estrato II con el alineamiento.

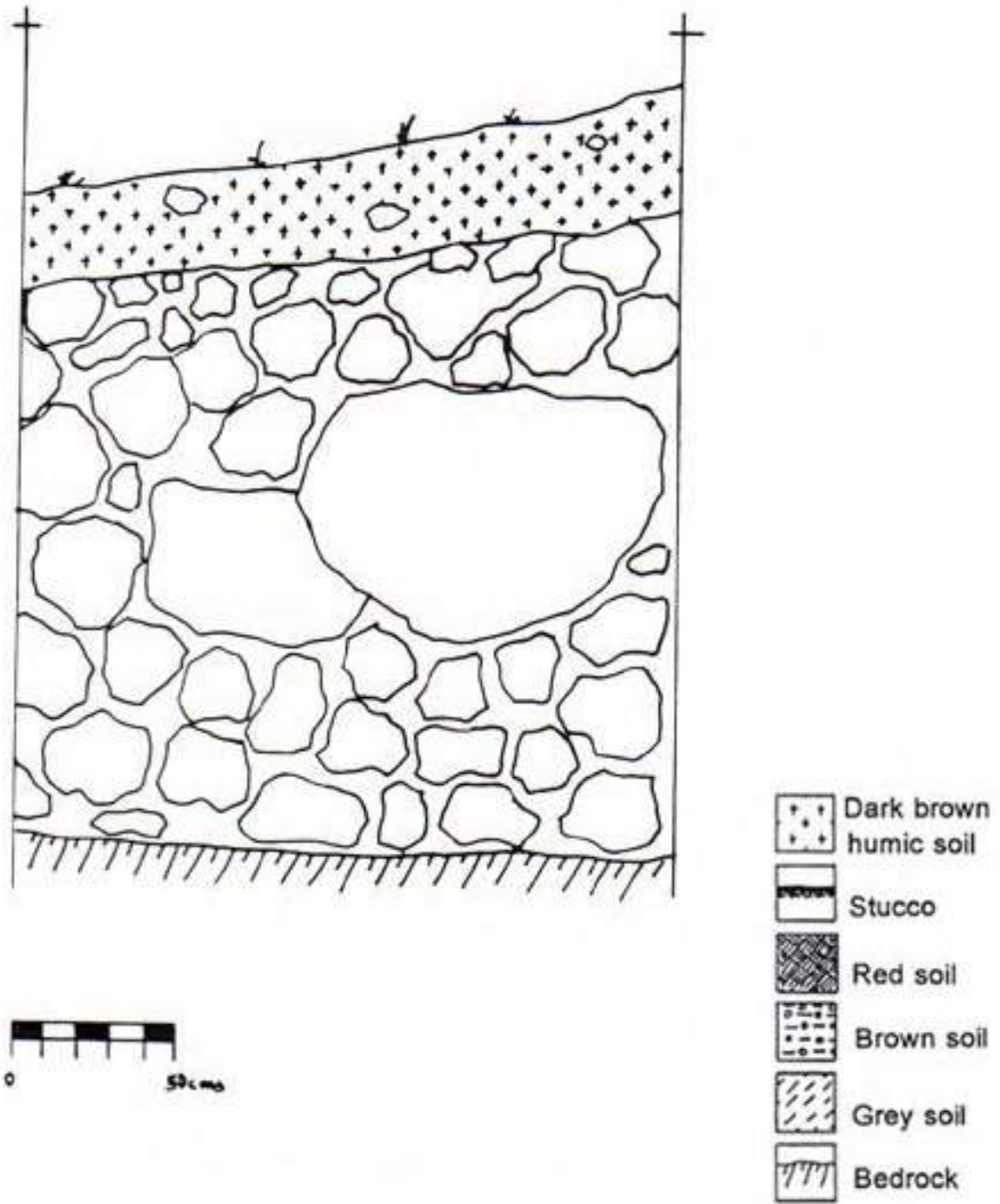


Figura 170. Excavación de prueba 8, perfil norte.



Figura 171. Excavación de prueba 8, perfil norte.



Figura 172. Excavación de prueba 8, perfil norte.



Figura 173. Calzada 46.

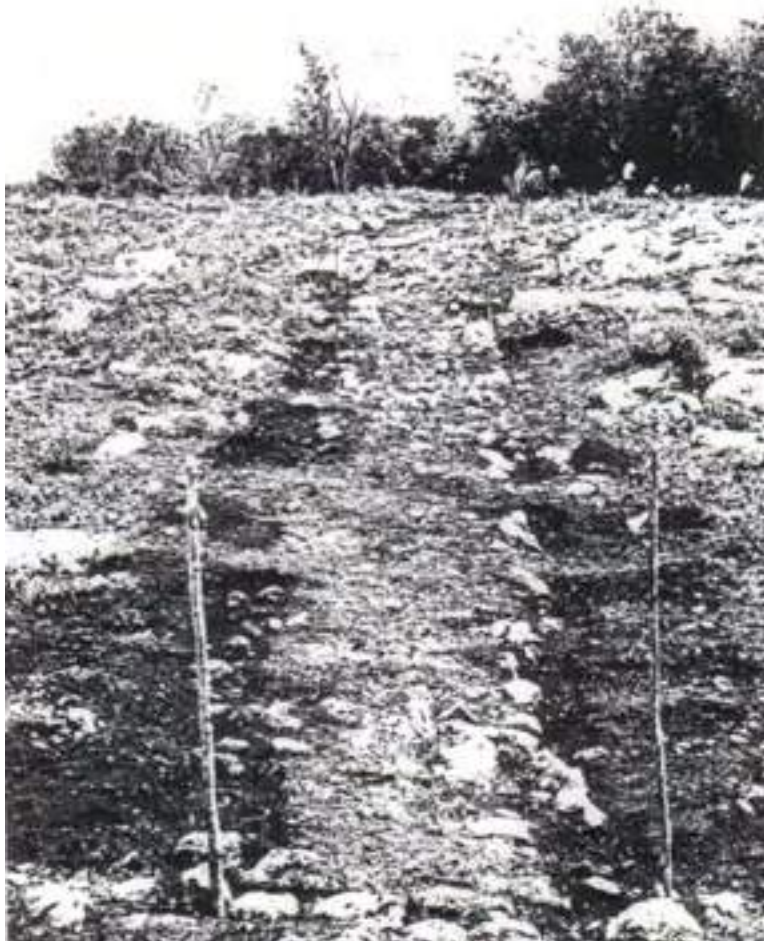


Figura 174. Calzada 61.



Figura 175. Calzada 69.

Relevamiento y Mapeo de Estructuras en Chichén Itzá

Durante la temporada de campo 1997, se llevaron a cabo actividades de relevamiento y mapeo en la parte oeste del sitio. Como resultado, en Chichén Itzá se mapearon dos construcciones modernas al igual que 29 estructuras prehispánicas de diferentes características. Además, las calzadas 2, 3, 8, 12, 26, 57, y 61 fueron relevadas hasta su término. Partes de las calzadas 46, 58, y 59 están destruidas, de modo que no fue posible determinar el punto donde terminaban estas tres calzadas. Durante las actividades de relevamiento descubrimos otras seis calzadas, que fueron mapeadas. Los números de dichas calzadas son 64, 65, 66, 67, 68 y 69.

Cuadrante 21A

Número de estructuras mapeadas: 9

La actividad sobre el terreno se realizó en el Cuadrante 21A. Durante la temporada de campo 1997 mapeamos cinco plataformas, nueve estructuras de variadas características, la Calzada 69, tres metates, ocho canteras o sascaberas, y un muro moderno. Lo que sigue es una descripción de dichos elementos:

Estructura 21A1

21A1 se compone de una plataforma y una estructura elevada. La planta de la plataforma es de forma cuadrangular, y estaba formada por grandes bloques de piedras. Los dos elementos asociados con la plataforma incluyen una escalera y un muro moderno. La escalera permite el acceso al nivel superior de 21A1 desde la plaza donde comienza la Calzada 69. Aunque encontramos que la escalera estaba destruida, nos fue posible registrar la presencia de ocho escalones, cada uno de 50 centímetros de largo, una altura de 15 centímetros y un ancho de 28 centímetros.

La planta rectangular de la estructura 21A1 está orientada sobre un eje noreste-sudeste, y consiste en dos cuartos ubicados al oeste del este. El cuarto este de 21A1 está bastante destruido porque los muros norte, este y sur se han derrumbado. En 1997 nos fue posible registrar la presencia de una serie de pequeñas piedras, en una línea de unos 50 cm de ancho que formaba parte del muro interior.

Estructura 21A2

Al norte de la Calzada 69 se encuentra la Estructura 21A2, un altar de planta cuadrangular de aproximadamente 2.5 metros en cada lado.

Estructura 21A3

La construcción de 21A3 consta de una planta circular que mide 2.6 metros de diámetro. Está formada de piedras regularmente trabajadas (que varían entre los 40 y 70 centímetros).

Estructura 21A4

21A4 es una estructura rectangular cuya planta tiene forma de C. Este estructura está orientada a lo largo de un eje noroeste-sudeste, y aunque el muro posterior está destruido, los muros que quedan tienen un ancho de 35 centímetros. Se accede al interior de 21A4 por el lado sur.

Estructura 21A5

21A5 es una estructura rectangular con una planta en forma de G. Esta estructura se encuentra orientada en un eje noroeste-sudeste. El único acceso al interior de esta estructura es por su lado norte.

Estructura 21A6

La estructura 21A6 tiene una planta rectangular y está orientada sobre un eje noroeste-sudeste, y cuenta con tres cuartos situados al este, centro y oeste de la estructura. El único acceso al interior de esta estructura se encuentra en su lado oeste.

Estructura 21A7

21A7 tiene una planta rectangular en forma de C. La estructura está orientada sobre un eje noroeste-sudeste, y consta de un sólo cuarto. El acceso al interior se encuentra en el lado norte de la estructura. Durante 1997, registramos la presencia de dos columnas que medían 33 centímetros de diámetro en el interior de 21A7.

Estructura 21A8

21A8 es una estructura rectangular con planta en forma de C. La estructura es de un sólo cuarto. El acceso a su interior se encuentra sobre el lado sur de la misma.

Estructura 21A9

21A9 es una construcción rectangular orientada a lo largo de un eje noroeste-sudeste. La estructura consiste de un cuarto y un altar en la parte posterior de la construcción. Los muros del cuarto y del altar tienen 50 cm de ancho.

Cuadrante 1Z

Número de estructuras mapeadas: 5

La actividad de campo tuvo lugar en el Cuadrante 1Z. En este cuadrante se mapearon dos plataformas, cinco estructuras de variadas características, parte de la Calzada 67, un metate, y una cantera o sascabera. Lo que sigue es una descripción de dichos elementos:

Estructura 1Z34

La construcción simple en forma de C de 1Z34 está formada por la alineación de grandes piedras con un diámetro que excede los 50 centímetros. El único acceso al interior de 1Z34 está sobre su lado oeste.

Estructura 1Z35

1Z35 es un altar con una planta cuadrangular muy destruida. El altar está asociado con la estructura 1Z36, que se encuentra situada al oeste.

Estructura 1Z36

La planta rectangular en forma de C de 1Z36 está orientada siguiendo un eje noreste-sudoeste. El único acceso a su interior está situado en el lado este de la estructura. En el interior se encuentran los restos de una banquetta.

Estructura 1Z37

La estructura conocida como 1Z37 consiste en un alineamiento simple de piedras distribuidas en la superficie, en forma de L. El acceso al interior de la estructura mira hacia el sur.

Estructura 1Z38

La planta cuadrangular de la construcción 1Z38 está formada por piedras irregulares que habían sido usadas para delimitar los lados este y sur de la estructura.

Cuadrante 1A

Número de estructuras mapeadas: 14

Las actividades en el terreno se llevaron a cabo en el Cuadrante 1A. Se mapearon 4 plataformas, 14 estructuras prehispánicas de variadas características, dos estructuras modernas, parte de la Calzada 46, seis metates, dos fragmentos esculpidos y un pozo de aguas sucias seco, o *rejollada*.

Estructura 1A34

La construcción simple de 1A34 está orientada a lo largo de un eje noreste sudoeste. La planta rectangular de la estructura se construyó usando piedras que miden unos 70 centímetros. La presencia del lecho rocoso en la parte este de la estructura 1A34 parece estar asociada con la construcción, y puede haber servido de como un "muro" natural.

Estructura 1A35

La Estructura 1A35 es una construcción en forma de L que está orientada a lo largo de un eje noroeste-sudeste. La estructura mira hacia el sur y su muro tiene un grosor de 50 centímetros.

Estructura 1A36

La planta rectangular de la estructura 1A36 está orientada a lo largo de un eje noroeste sudeste. La construcción está compuesta por tres cuartos. De estos tres cuartos, el del medio es el que tiene el diámetro más grande, comparado con los cuartos este y oeste. En los tres cuartos los muros tienen un grosor de 50 centímetros.

Estructura 1A37

La Estructura 1A37 es una construcción rectangular orientada a lo largo de un eje noroeste sudeste. La construcción está compuesta por dos cuartos que miran hacia el este y el oeste, y los muros de ambos tienen un grosor de 50 centímetros.

Estructura 1A38

La planta circular de la construcción 1A38 tiene un diámetro de 2.20 metros. Las piedras de forma regular de esta estructura miden entre 30 y 70 centímetros.

Estructura 1A39

La construcción 1A39, en forma de L, está orientada sobre un eje noroeste-sudeste. La estructura, cuyos muros tienen un grosor de 40 centímetros, mira hacia el norte.

Estructura 1A40

La planta rectangular de la estructura 1A40 está orientada a lo largo de un eje noreste-sudoeste. La construcción se compone de tres cuartos. El cuarto principal está situado en el lado norte de 1A40. El único acceso a este cuarto se encuentra sobre el lado este de la construcción. En el interior del cuarto hallamos dos fragmentos esculpidos que, creemos, representan a un jaguar y a la pierna derecha de una persona.

Estructura 1A41

1A41 es una construcción cuya planta rectangular está orientada en un eje que corre de noroeste a sudeste. La estructura está compuesta de dos cuartos ubicados al este y oeste.

Estructura 1A42

La planta rectangular de la estructura 1A42 está orientada según un eje que corre de noroeste a sudeste. La estructura consta de cuatro cuartos, cada uno con su respectiva entrada.

Estructura 1A43

La planta rectangular de la estructura 1A43 está compuesta por cuatro cuartos ubicados en el norte y sur de la estructura.

Estructura 1A44

1A44 es un altar que descansa sobre una plataforma. La plataforma está situada en el punto donde las Calzadas 3 y 46 se unen (véase también Estructura 5D129).

Estructura 1A45

1A45 es un cuarto de forma semicircular que mide 3.5 metros de diámetro. El único acceso a este cuarto se encuentra en la parte sudoeste de la estructura, y tiene 1.10 metros de ancho.

Estructura 1A46

1A46 es una construcción rectangular con una planta en forma de C. La estructura está orientada siguiendo un eje noreste-sudoeste. Consiste de un sólo cuarto a cuyo interior se accede por el lado este.

Estructura 1A47

La construcción de 1A47 consiste en una planta circular que mide 2.5 metros de diámetro. Está formada por piedras trabajadas regulares (de entre 30 y 50 centímetros).

Cuadrante 5D

Número de estructuras mapeadas: 1

Las actividades en el terreno se llevaron a cabo en el Cuadrante 5D. Se mapeó una estructura, se mapeó el comienzo y parte de la Calzada 8, y también se mapeó la totalidad de las Calzadas 64, 65, y 66 (para una descripción de estas actividades, véase la sección de las calzadas). A continuación se presenta una descripción de la Estructura 5D129.

Estructura 5D129

5D129 es un altar ubicado encima de un afloramiento de la roca madre. La forma cuadrangular del altar mide 3.5 metros en cada uno de sus lados. La Estructura 5D129, junto con las Estructuras 1A44, está asociada con las Calzadas 8 y 64.

Relevamiento y Mapeo de las Calzadas de Chichén Itzá

Con respecto a la identificación y registro de las calzadas prehispánicas o sacbeob de Chichén Itzá durante la temporada de campo 1997, las siguientes fueron las actividades que se llevaron a cabo en el sitio: el comienzo de las calzadas 3, 8, y 26 fue identificado, al igual que el final de las calzadas 57 y 61; las calzadas 46, 58 y 59 continuaron siguiéndose, y otras siete calzadas nuevas, entre ellas las calzadas 2, 64, 65, 66, 67, 68, y 69, fueron registradas. Lo que sigue es una descripción de cada una de estas actividades.

Ya otros investigadores habían registrado lo que creyeron eran los puntos donde terminaban las Calzadas 3, 8, y 26. Por ejemplo, se había determinado que el final de la Calzada 3 era Cumtún (Cobos y Winemiller, 1996:292-293), el punto de terminación de la Calzada 8 es el borde oeste de del Grupo de las Jambas Jeroglíficas que incluye a las estructuras 6E1-6E5, 6E7-6E8 (Ruppert, 1952:Figura 151; Lincoln, 1990:522, Hoja de Mapa V), mientras que la terminación de la Calzada 26 es el portal de la Estructura 5C16 del Grupo de la Serie Inicial. Habiendo ya identificado las terminaciones de estas calzadas, el objetivo de la temporada de campo 1997 radicaba en identificar los orígenes de las calzadas.

Durante la temporada de campo 1996, se siguió la Calzada 3 desde el Cuadrante 2C hasta su terminación, a 5.7 kilómetros del centro de Chichén Itzá, en el sitio de Cumtún. En 1997 se siguió la Calzada 3 unos 300 metros al este, a fin de revelar los orígenes de esta calzada. Pudo verse que el comienzo de la Calzada 3 estaba situado en el ángulo noroeste de la Gran Terraza, unos pocos metros al oeste de la Estructura 2D1 o Gran Juego de Pelota. De hecho, lo que parece ser la Calzada 2 en el Cuadrante 2C de Ruppert (1952) es en realidad el comienzo de la Calzada 3. La longitud del Sacbé 3, que une Chichén Itzá con Cumtún, puede calcularse en unos 6 kilómetros.

Ruppert (1952:Figura 151) registró que la Calzada 8 ocupaba la parte noroeste del Cuadrante 6E, el ángulo sudeste del Cuadrante 5E, y el ángulo sudeste del Cuadrante 5D. Fue precisamente en este punto donde Ruppert indicó, por medio de una línea punteada en su mapa, la posibilidad de que la Calzada 8 continuara hacia el norte hasta llegar al extremo sur de la plataforma de la Estructura 5D4. En 1983 y 1985, Lincoln (1990:445, 522) relevó el Cuadrante 5D y determinó que la Calzada 8 terminaba en un área en la que había tierra roja, o *kankab*.

El trabajo de relevamiento y mapeo llevado a cabo por el autor de este informe de campo en 1997, reveló que la Calzada 8 comienza en el borde sur de la plataforma que alberga a las estructuras 5D8-5D15, 5D18 y 5D128 (véase la Plataforma de Ho' Che en Lincoln, 1990:425-428, Hoja de Mapa II) y se dirige hacia el sudeste, para terminar en el extremo norte de un afloramiento del lecho rocoso situado en la parte del medio-este del Cuadrante 5D.

En 1994, el punto de terminación de la Calzada 26 fue identificado en la parte norte del Grupo de la Serie Inicial. Para ser más específico, se encontró que la calzada terminaba en la Estructura 5C16, en la bóveda de un portal asociado con el Grupo de la Serie Inicial. Se creía que el pavimento del portal pertenecía a la terminación de la calzada. En 1997, se encontró el origen de la Calzada 26 en el borde sudoeste de la Plataforma de Ho' Che, pocos metros al sur del juego de pelota o Estructura 5D5 (véase Lincoln, 1990:Hoja de Mapa I).

Se informó de la existencia de la Calzada 61 durante la temporada de campo 1996. En ese momento, el comienzo de la calzada quedó registrado como si estuviera situado al norte de la Estructura 2A18. Sin embargo, el final de la calzada no pudo ser identificado, puesto que estaba cubierto por tierra roja o *kankab* (Cobos y Winemiller, 1997:49). En 1997, sin embargo, se pudo determinar que partiendo de la Estructura

2A18, la Calzada 61 continúa en dirección nor-noreste hasta terminar en el extremo sur de un grupo de estructuras que consisten en 1A26-1A30 y el Chultún 2 (Cobos, 1996:99-102; véase la [Figura 174](#) de este informe).

En 1995, se descubrió y registró parte de la Calzada 46 (Cobos y Winemiller, 1996:305). Continuamos con el mapeo de este elemento arqueológico en 1997, junto con el relevamiento y registro de la Calzada 46 en la parte noroeste del afloramiento de la roca madre que obstruye esta calzada, como así también la Calzada 3. La Calzada 46 continúa hacia el noroeste. En el sur pasa por un gran sumidero seco, o rejollada, y el punto de referencia 17. La calzada está obstruida en el ángulo sudoeste del Cuadrante 21A debido a la presencia de patios y casas modernas ocupadas por los habitantes de Pisté. De hecho, el punto de referencia 17 y el lugar en el cual la Calzada 46 está interrumpida, son en realidad los puntos situados más al sudeste del asentamiento moderno de Pisté ([Figura 173](#)).

Las calzadas 57, 58, y 59 fueron halladas en el Cuadrante 4D. La Calzada 57 comienza en la parte sur de la Calzada 52 y termina con una estructura que fue destruida con la construcción moderna del Hotel Villas Arqueológicas de Chichén Itzá. Sólo se mapearon 160 metros de la Calzada 58. Esta calzada comienza en el extremo sur de la Gran Terraza y continúa hacia el sur hasta llegar a Autopista Federal de México 180. La Calzada 59 comienza en el borde oeste de la Calzada 58. Sólo fue posible registrar 8 metros de esta calzada debido a que las construcciones modernas, tales como los depósitos, cuartos, y caminos que llevan al Hotel Mayaland y a la Autopista Federal de México 180, han obstruido la totalidad de la parte central del Cuadrante 4D.

Calzada 2 (Cuadrante 2C)

La Calzada 2 comienza en el borde norte de la Calzada 3, unos pocos metros al sur del Grupo noroeste. Desde este punto, la Calzada 2 se dirige unos 110 metros hacia el noreste hasta que termina en una escalera asociada con la plataforma de la Estructura 2C7 y 2C8, ubicada cerca del ángulo noreste del Cuadrante 2C (véase Ruppert, 1952:18-19, Figura 12, Figura 13, y Figura 151). Vale la pena mencionar que en la Figura 151 de Ruppert (1952) aparece una calzada marcada con un número 2, que une el ángulo noroeste de la Gran Terraza con el Grupo Sudeste. Sin embargo, en la temporada 1997 quedó demostrado que la calzada que aparece en el Cuadrante 2C marcada con un número 2, en realidad corresponde al comienzo de la Calzada 3.

Calzada 64 (Cuadrante 5D)

La Calzada 64 comienza en el Cuadrante 5D, en el borde sur de la Calzada 65, y termina allí donde se topa con un afloramiento de la roca madre, en la parte medio-este del Cuadrante 5D. Este afloramiento de la roca madre obstruye la Calzada 8 que une a las estructuras 5D8-5D15, 5D18 y 5D128 con el Grupo de las Jambas Jeroglíficas.

Calzada 65 (Cuadrante 5D)

La Calzada 65 comienza en el borde sur de la plataforma de las estructuras 5D4, 5D27-5D31 y 5D33 (véase Lincoln, 1990:Hoja de Mapa II). La calzada se dirige hacia el sudeste hasta terminar en un afloramiento de la roca madre y alguna plataforma no mapeada ubicada en la parte medio-oeste del Cuadrante 5E (véase la estructura de forma rectangular que aparece en línea de puntos en la Figura 151 [1952] de Ruppert).

Calzada 66 (Cuadrante 5D)

La Calzada 66 comienza entre el Chultún 1 y la Estructura 5D2, en la parte noreste de la plataforma que sostiene a las estructuras 5D1-5D6 y 5D20-5D26. La calzada va hacia el este hasta finalizar en el borde oeste de la plataforma que alberga a las Estructuras 5D8-5D15, 5D18, 5D128, pocos metros al oeste de la Estructura 5D12. La Calzada 66 conecta las dos plataformas que Lincoln (1990:401-428, 425-428) denominó de Ho' Che y Ek' Xux.

Calzada 67 (Cuadrante 1Z)

La Calzada 67 comienza en el borde sur de la Calzada 3 en el Cuadrante 1Z, y dirige su recorrido hacia el sudoeste. En 1997, sólo fue posible mapear 100 metros de esta calzada.

Calzada 68 (Cuadrante 1Z)

La Calzada 68 comienza en el borde norte de la Calzada 3, y sigue un rumbo noroeste. En 1997, sólo se mapearon 80 metros y no se ubicó su punto de terminación.

Calzada 69 (Cuadrante 21A)

La Calzada 69 comienza en el borde oeste de una terraza asociada con las Estructuras 21A1-21A2. Siguiendo un curso hacia el oeste a lo largo de 120 metros, la Calzada 69 termina en el ángulo noreste de una terraza asociada hacia el este con las Estructuras 21A6-21A7 y hacia el norte con 21A8-21A9 (véase la [Figura 175](#)).

Lista de Figuras

- [Figura 1.](#) Vista en planta del Grupo de Sacbé 61.
- [Figura 2.](#) Grupo de Sacbé 61 antes de la excavación.
- [Figura 3.](#) Estructura 2A22 antes de la excavación, vista de sur a norte.
- [Figura 4.](#) Grupo de Sacbé 61 después de ser despejado, visto desde el sur.
- [Figura 5.](#) Estructura 2A21 y cantera, o sascabera.
- [Figura 6.](#) Estructura 2A21 antes de la excavación, vista de este a oeste.
- [Figura 7.](#) Grupo de Sacbé 61 visto de este a oeste.
- [Figura 8.](#) Grupo de Sacbé 61 visto desde la Estructura 2A21.
- [Figura 9.](#) Estructura 2A17 vista de norte a sur antes de la excavación.
- [Figura 10.](#) Excavación de la Estructura 2A17.
- [Figura 11.](#) Grupo de Sacbé 61, zaranda usada para tamizar la tierra.
- [Figura 12.](#) Grupo de Sacbé 61, zaranda usada para tamizar la tierra.
- [Figura 13.](#) Vista en planta de la Estructura 2A17.
- [Figura 14.](#) Excavación de la Estructura 2A17.
- [Figura 15.](#) Estructura 2A17, muro norte.
- [Figura 16.](#) Estructura 2A17, vista de norte a sur, antes de la excavación.
- [Figura 17.](#) Estructura 2A17, excavación del muro norte.
- [Figura 18.](#) Estructura 2A17, Cuadrángulo 23L, antes de la excavación.
- [Figura 19.](#) Corte transversal del muro en el Cuadrángulo 23L.
- [Figura 20.](#) Estructura 2A17, vista de noroeste a sudeste.
- [Figura 21.](#) Estructura 2A17, excavación del ángulo noroeste.
- [Figura 22.](#) Estructura 2A17, lado norte con la posible ubicación de la tercera hilada de piedras del muro.
- [Figura 23.](#) Estructura 2A17, excavación de la banquetta en el lado norte.
- [Figura 24.](#) Estructura 2A17, excavación de la banquetta norte.

- [Figura 25](#). Estructura 2A17, lado norte y banquetta norte.
- [Figura 26](#). Corte transversal del muro norte y de la banquetta.
- [Figura 27](#). Estructura 2A17, vista de este a oeste, antes de la excavación.
- [Figura 28](#). Estructura 2A17, excavación del muro este.
- [Figura 29](#). Estructura 2A17, excavación del muro este.
- [Figura 30](#). Estructura 2A17, una vista de la excavación de este a oeste.
- [Figura 31](#). Estructura 2A17, lado oeste del adoratorio antes de la excavación.
- [Figura 32](#). Estructura 2A17, parte posterior del adoratorio antes de la excavación.
- [Figura 33](#). Excavación del lado oeste de la Estructura 2A17, y del lado oeste del adoratorio.
- [Figura 34](#). Estructura 2A17, interior del lado norte, donde se observa el relleno encima del piso de estuco.
- [Figura 35](#). Estructura 2A17, Cuadrángulo 22J, antes de la excavación.
- [Figura 36](#). Estructura 2A17, Cuadrángulo 22J, antes de la excavación.
- [Figura 37](#). Corte transversal norte de la excavación de prueba central.
- [Figura 38](#). Corte transversal este-oeste de la banquetta de la Estructura 2A17.
- [Figura 39](#). Excavación del adoratorio visto de este a oeste.
- [Figura 40](#). Excavación del adoratorio.
- [Figura 41](#). El adoratorio visto desde el este.
- [Figura 42](#). Corte transversal oeste-este, lado norte del adoratorio.
- [Figura 43](#). Estructura 2A17, interior del adoratorio, vista del muro norte con relleno o *testigo*.
- [Figura 44](#). Estructura 2A17, lado sur del adoratorio, relleno o testigo que muestra el relleno de construcción del Estrato II.
- [Figura 45](#). Fragmentos de estuco encontrados en el Estrato II del relleno o *testigo*.
- [Figura 46](#). Estructura 2A17, interior del adoratorio, lado sur.
- [Figura 47](#). Estructura 2A17, entrada principal al adoratorio.

- [Figura 48](#). Interior del adoratorio. Piso de estuco y restos de carbón y ceniza.
- [Figura 49](#). Interior del adoratorio. Restos de carbón y ceniza junto a la jamba norte.
- [Figura 50](#). Estructura 2A17, Sahumador Sisal depositado como ofrenda en el adoratorio.
- [Figura 51](#). Estructura 2A17, vaso depositado como ofrenda en el adoratorio.
- [Figura 52](#). Excavación de prueba 1, relleno de construcción de la Estructura 2A17.
- [Figura 53](#). Excavación de prueba 2, interior de la banquetta.
- [Figura 54](#). Excavación de prueba 2, interior de la banquetta.
- [Figura 55](#). *Sahumador Sisal* en la excavación de prueba de la banquetta.
- [Figura 56](#). Vaso en la excavación de prueba de la banquetta.
- [Figura 57](#). *Sahumador Sisal* depositado como ofrenda en la banquetta del adoratorio.
- [Figura 58](#). *Sahumador Sisal* depositado como ofrenda en la banquetta del adoratorio.
- [Figura 59](#). *Sahumador Sisal* depositado como ofrenda en la banquetta del adoratorio.
- [Figura 60](#). *Sahumador Sisal* depositado como ofrenda en la banquetta del adoratorio.
- [Figura 61](#). Vaso depositado como ofrenda en la banquetta del adoratorio.
- [Figura 62](#). Vaso depositado como ofrenda en la banquetta del adoratorio.
- [Figura 63](#). Vaso depositado como ofrenda en la banquetta del adoratorio.
- [Figura 64](#). Vaso depositado como ofrenda en la banquetta del adoratorio.
- [Figura 65](#). Excavación de prueba frente al adoratorio.
- [Figura 66](#). Interior del adoratorio con la banquetta parcialmente excavada.
- [Figura 67](#). Lado sur del adoratorio, testigo que muestra el relleno constructivo del Estrato II; en la extrema izquierda se observa la jamba sur.
- [Figura 68](#). Estructura 2A17, lado sur del santuario, testigo que muestra al relleno constructivo del Estrato II.
- [Figura 69](#). Interior del adoratorio después de la excavación (lado norte).
- [Figura 70](#). Estructura 2A17, interior del adoratorio con los *testigos*.

- [Figura 71](#). Estructura 2AA17, interior del adoratorio con los *testigos*.
- [Figura 72](#). Lado norte de la Estructura 2A21 antes de la excavación.
- [Figura 73](#). Estructura 2A21, trinchera norte durante la excavación.
- [Figura 74](#). Estructura 2A21, excavación de la trinchera norte.
- [Figura 75](#). Estructura 2A21, ángulo noroeste, lado norte.
- [Figura 76](#). Estructura 2A21, corte transversal norte-sur, lado este de la trinchera norte.
- [Figura 77](#). Estructura 2A21, trinchera norte.
- [Figura 78](#). Estructura 2A21, escalera derrumbada, lado norte.
- [Figura 79](#). Estructura 2A21, ángulo noroeste, lado oeste.
- [Figura 80](#). Estructura 2A21, planta del lado oeste del ángulo noroeste.
- [Figura 81](#). Corte transversal este-oeste, cara sur de la trinchera oeste.
- [Figura 82](#). Estructura 2A21, excavación de la trinchera oeste.
- [Figura 83](#). Estructura 2A21, trinchera oeste.
- [Figura 84](#). Estructura 2A21, trinchera oeste.
- [Figura 85](#). Estructura 2A21, trinchera oeste.
- [Figura 86](#). Estructura 2A21, trinchera oeste.
- [Figura 87](#). Lado oeste de la Estructura 2A21.
- [Figura 88](#). Estructura 2A21, perfil sur de la trinchera oeste.
- [Figura 89](#). Excavación de prueba encima de la Estructura 2A21.
- [Figura 90](#). Plano de la excavación de prueba.
- [Figura 91](#). Estructura 2A21, inicio de la excavación de prueba en la parte superior de la estructura.
- [Figura 92](#). Estructura 2A21, excavación de la parte superior.
- [Figura 93](#). Estructura 2A21, piso de estuco hallado durante la excavación de prueba.
- [Figura 94](#). Estructura 2A21, piso de estuco hallado durante la excavación de prueba.
- [Figura 95](#). Estructura 2A21, piso de estuco hallado durante la excavación de prueba.

[Figura 96](#). Estructura 2A21, detalle del piso de estuco y del relleno de construcción de una posible subestructura.

[Figura 97](#). Estructura 2A21, excavación de prueba debajo del piso de estuco.

[Figura 98](#). Estructura 2A21, excavación de prueba, vista desde la capa de estuco y el relleno constructivo.

[Figura 99](#). Restauración del ángulo noroeste de 2A21.

[Figura 100](#). Vista de la estructura 2A22 antes de la excavación, como se ve desde la Estructura 2A21.

[Figura 101](#). Vista en planta de la Estructura 2A22.

[Figura 102](#). Estructura 2A22, lado norte antes de la excavación.

[Figura 103](#). Estructura 2A22, vista de sur a norte antes de la excavación.

[Figura 104](#). Estructura 2A22, excavación del lado sur.

[Figura 105](#). Estructura 2A22, lado sur.

[Figura 106](#). Estructura 2A22, Cuadrángulo 17R.

[Figura 107](#). Estructura 2A22, Cuadrángulo 16R antes de la excavación.

[Figura 108](#). Estructura 2A22, Cuadrángulo 17R antes de la excavación.

[Figura 109](#). Vista en planta de la Estructura 2A22-sub.

[Figura 110](#). Estructura 2A22-sub, perfil norte.

[Figura 111](#). Estructura 2A22-sub, perfil sur.

[Figura 112](#). Estructura 2A22-sub, perfil este.

[Figura 113](#). Estructura 2A22-sub, perfil oeste.

[Figura 114](#). Estructura 2A22-sub, corte transversal norte-sur, perfil este de la excavación de prueba.

[Figura 115](#). Estructura 2A22, Cuadrángulo 16R antes de excavar el Estrato III.

[Figura 116](#). Estructura 2A22, Cuadrángulo 16Q antes de excavar el Estrato III.

[Figura 117](#). Estructura 2A22-sub, corte transversal este-oeste, perfil norte de la excavación de prueba.

- [Figura 118](#). Estructura 2A22-sub, Estrato V con piedra de relleno.
- [Figura 119](#). Estructura 2A22-sub, salpicaduras de estuco en el Estrato IV.
- [Figura 120](#). Estructura 2A22-sub, salpicaduras de estuco en el Estrato V.
- [Figura 121](#). Estructuras 2A22 y 2A22-sub después de la excavación.
- [Figura 122](#). Estructuras 2A22 y 2A22-sub después de rellenar esta última.
- [Figura 123](#). Restauración de la estructura 2A22-sub.
- [Figura 124](#). Vista de la estructura 2A22, en la parte de atrás se ve la Calzada 61.
- [Figura 125](#). Estructura 2A22, restauración del lado oeste.
- [Figura 126](#). Restauración de la Estructura 2A22, ángulo sudoeste.
- [Figura 127](#). Restauración de la estructura 2A22, lado sur.
- [Figura 128](#). Estructura 2A22 después del trabajo de restauración.
- [Figura 129](#). Excavación de prueba 1.
- [Figura 130](#). Excavación de prueba 1, perfil este.
- [Figura 131](#). Excavación de prueba 1, vista en planta de sur a norte.
- [Figura 132](#). Excavación de prueba 1, perfil este.
- [Figura 133](#). Excavación de prueba 1, perfil este.
- [Figura 134](#). Excavación de prueba 1, perfil este.
- [Figura 135](#). Excavación de prueba 1, perfil sur, nivel 3.
- [Figura 136](#). Excavación de prueba 1, perfil sur, ángulo de la subestructura y la excavación hasta el lecho rocoso.
- [Figura 137](#). Excavación de prueba 1, perfil oeste, nivel 3.
- [Figura 138](#). Excavación de prueba 2, excavación del nivel 1.
- [Figura 139](#). Excavación de prueba 2, perfil norte.
- [Figura 140](#). Excavación de prueba 2, perfil norte.
- [Figura 141](#). Excavación de prueba 2, perfil oeste y relleno de construcción.
- [Figura 142](#). Excavación de prueba 3.

[Figura 143](#). Excavación de prueba 3, detalle del piso de estuco visto de sur a norte.

[Figura 144](#). Excavación de prueba 3, alineamiento de piedras expuesto en el perfil oeste de la excavación.

[Figura 145](#). Excavación de prueba 3, perfil oeste, detalle del alineamiento de piedras.

[Figura 146](#). Excavación de prueba 3, excavación del nivel 3.

[Figura 147](#). Excavación de prueba 3, perfil sur.

[Figura 148](#). Excavación de prueba 3, perfil oeste.

[Figura 149](#). Excavación de prueba 4, vista en planta del relleno constructivo del Estrato II.

[Figura 150](#). Excavación de prueba 4, excavación del nivel II y detalle del relleno constructivo.

[Figura 151](#). Excavación de prueba 4, piso de estuco.

[Figura 152](#). Excavación de prueba 4, piso de estuco.

[Figura 153](#). Excavación de prueba 4, detalle del piso de estuco.

[Figura 154](#). Excavación de prueba 4, perfil este.

[Figura 155](#). Excavación de prueba 4, perfil este, vista exterior del elemento.

[Figura 156](#). Excavación de prueba 5, perfil norte.

[Figura 157](#). Excavación de prueba 5, perfil este.

[Figura 158](#). Excavación de prueba 5, perfil norte.

[Figura 159](#). Excavación de prueba 5, perfil este, vista del muro de la subestructura.

[Figura 160](#). Excavación de prueba 6, nivel 1.

[Figura 161](#). Excavación de prueba 6, perfil sur.

[Figura 162](#). Excavación de prueba 6, detalle del alineamiento de piedras y restos del piso de estuco.

[Figura 163](#). Excavación de prueba 6, excavación hasta el lecho rocoso.

[Figura 164](#). Excavación de prueba 7, corte transversal este-oeste, cara exterior, alineamiento sur.

[Figura 165](#). Excavación de prueba 7, nivel II, durante la excavación.

[Figura 166](#). Excavación de prueba 7, vista del alineamiento y del tambor de la columna de oeste a este.

[Figura 167](#). Excavación de prueba 7, vista del alineamiento y del tambor de la columna de sur a norte.

[Figura 168](#). Excavación de prueba 7, detalle de la concentración de cerámicas junto al tambor de la columna.

[Figura 169](#). Excavación de prueba 7, vista en planta del Estrato II con el alineamiento.

[Figura 170](#). Excavación de prueba 8, perfil norte.

[Figura 171](#). Excavación de prueba 8, perfil norte.

[Figura 172](#). Excavación de prueba 8, perfil este.

[Figura 173](#). Calzada 46.

[Figura 174](#). Calzada 61.

[Figura 175](#). Calzada 69.

Referencias Citadas

Cobos, Rafael

1996 "Proyecto Arqueológico Chichén Itzá: Informe de Reconocimientos y Mapeo Temporada de Campo 1995-1996". Archivos del Proyecto Arqueológico Chichén Itzá, Centro INAH - Yucatán. Mérida.

Cobos, Rafael y Terance L. Winemiller

1996 "Informe Sobre los Sacbeob Hallados en Chichén Itzá en 1995". Proyecto Arqueológico Chichén Itzá: Informe de Reconocimientos y Mapeo Temporada de Campo 1995-1996. Archivos del Proyecto Arqueológico Chichén Itzá, Centro INAH - Yucatán. Mérida.

Lincoln, Charles E.

1990 *Ethnicity and Social Organization at Chichén Itzá, Yucatán, México*. Tesis de Doctorado, Universidad de Harvard, Cambridge.

Ruppert, Karl

1952 *Chichén Itzá: Architectural Notes and Plans*. Carnegie Institution of Washington, Pub. 595. Washington, D.C.